# 日立における遮断器合成試験

Synthetic Testing of Circuit Breakers in Hitachi

細川正男\* 日木 寿一郎\*
Masao Hosokawa Juichirô Usuki

# 要旨

合成試験を空気遮断器に適用したときの遮断判定に及ぼす諸因子効果を検討し、電流零近傍の電流電圧責務を与える電圧源の効果が大きく、特に再起電圧の初期部分が遮断の成否に大きな影響を及ぼすことが判明し、零近傍の遮断現象を実測と計算から解析した。このほか日立製作所日立研究所の合成試験設備の概要と、並列抵抗付遮断器に対する新しい合成試験法についても言及した。

# 1. 緒 言

電力系統の大容量化に伴い、使用される遮断器もますます大容量のものが要求され、日立製作所においてもすでに 300 kV 25 GVA、550 kV 35 GVA の OPH 形 ABB<sup>(1)</sup> を開発し、営業あるいは試験運転にはいっている。

これら遮断器の遮断性能を検証するのに,理想的には 100% 容量の実負荷短絡試験が行なえるような試験設備を必要とするが,設備が膨大なものとなり実際的には不可能である。このため単相試験,部分試験などが用いられるが,遮断部ユニット自体が高電圧大容量となると,部分試験ですら実負荷短絡試験で 100% 容量の性能検証が困難となる。一方海外でみられる実系統を利用した試験所でも限度があり,時間的な制約も多く特に遮断器の開発試験に利用することはほとんど不可能といえる。

これらの状勢にかんがみ、内外の短絡試験所では合成試験法の確立と設備の建設に力を入れ、等価性についても精力的に研究がなされている<sup>(2)~(5)</sup>。

合成試験の原理は、遮断器でアーク発生中は大電流を通じているが極間電圧はアーク電圧しか存在しないため、比較的低電圧大電流の電流源からこれを供給し、消弧以後は電流供給が少なくてよいため高電圧小電流の電圧源からこれを供給し、消弧近傍時に遮断器を電流源から電圧源に移すことにより、結果的には一つの電源から高電圧大電流を供給する実負荷(直接)試験と等価とみなせる試験を行なうものである。

試験法の概要は上述のとおりであるが、実際の試験実施上の難易 あるいは等価性などに関連して種々の回路構成が考えられている。 日立製作所日立研究所では種々の合成試験法のうち最も信頼性があ 年前から基礎実験し、昭和40年12月に現有設備を完成した。以来 遮断器の開発研究試験を始め商用試験にも大いに利用している。以 下、設備の概要と ABB を用いた試験結果について述べる。

り, 内外で最も多く用いられているワイル合成試験法を採用し, 数

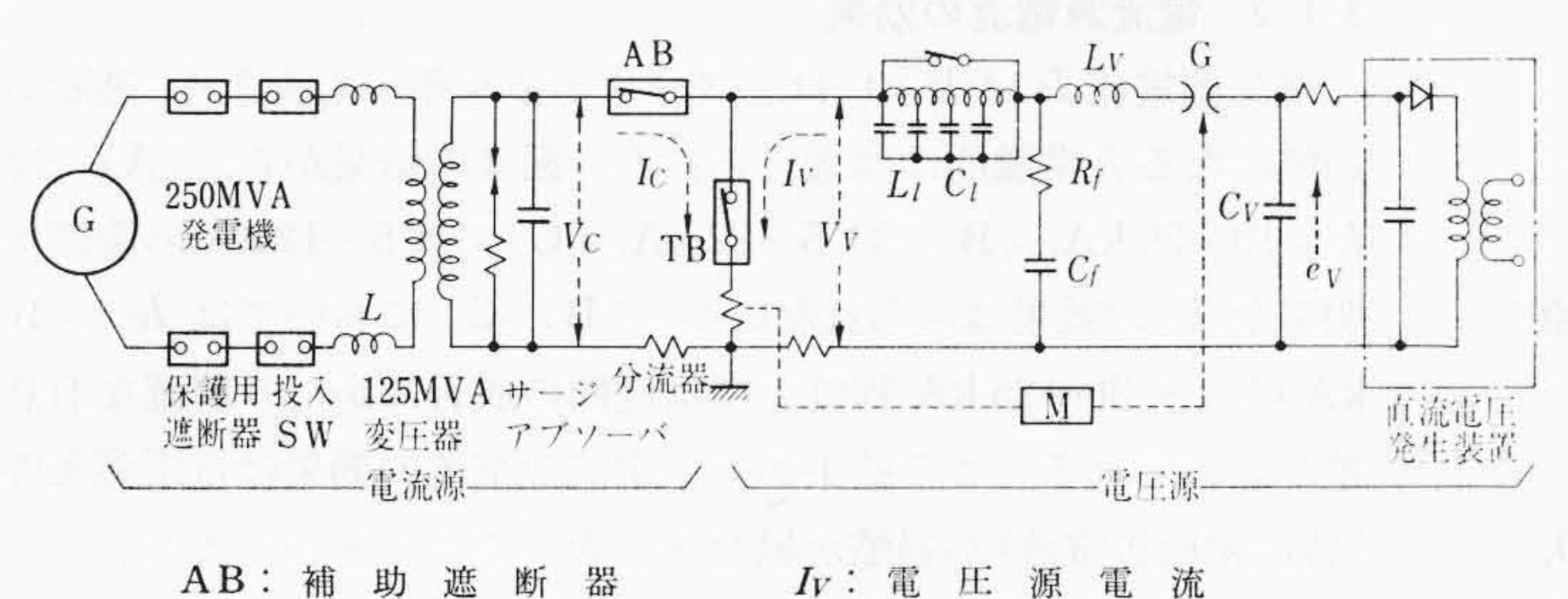
# 2. 試験回路と試験設備

### 2.1 試験回路と構成

試験回路は図1のように電流源と電圧源から構成されている。電流源回路は供試遮断器のアーク電流,アークエネルギーを直接試験時と同等にする必要があり、電流源電圧は供試遮断器と補助遮断器の直列アークにより電流が著しく変歪しない程度に高くする必要がある。電圧源回路は、供試遮断器を通る電流零近傍の電流傾斜、回復電圧、供試遮断器からみた回路の短絡駆動点インピーダンス関数を直接試験回路と一致するよう選定する必要がある。図2は遮断試験時の動作説明図である。

# 2.2 試験設備の概要

電流源としては 250 MVA 短絡発電機 $^{(7)}$ , 125 MVA 変圧器,電流調整用リアクトル,サージ吸収装置から構成している。電流源電圧 Vc に比べ電圧源電圧 ev は数倍であるため, ev が電流源に侵入する と絶縁上過酷なものとなる。アナライザ解析の結果から、サージ吸収用として  $5\sim10~\mu\text{F}$  のコンデンサおよび 放電 ギャップと直列に  $3\sim4\Omega$  の抵抗を電流源出力端子に設けている。



AB: 補助 遮断 器 TB: 供試 遮断 器 G: 3 点ギャップ M: ギャップ始動装置 ev: 充電 電圧

Ic: 電 流 源 電 流

 Iv:
 電 圧 源 電 流

 Vv:
 電 圧 源 電 圧

 Cv:
 電圧源コンデンサ

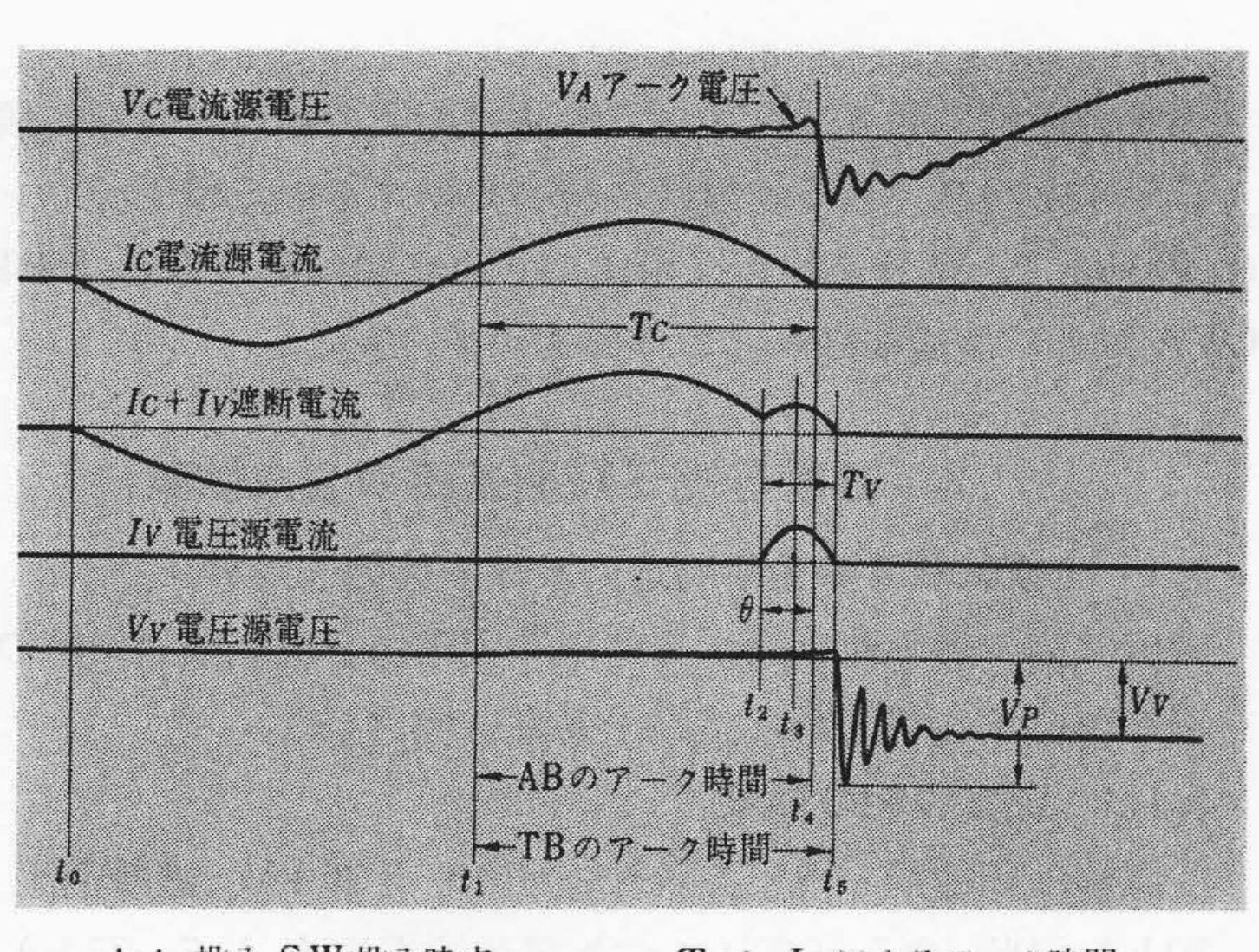
 Lv:
 電圧源リアクトル

 Cr:
 再起電圧周波数調整

 Cf:
 再起電圧周波数調整用コンデンサ

 Rf:
 再起電圧振幅率調整用抵抗

 $V_C$ : 電 流 源 電 圧  $L_l$ ,  $C_l$ : SLF用模擬線路 図 1 合 成 試 験 回 路



t<sub>0</sub>: 投入 SW 投入時点

t<sub>1</sub>: AB, TB の開極点

t<sub>2</sub>: I<sub>V</sub> の 印 加 時 点

t<sub>3</sub>: I<sub>V</sub> の 液 高 時 点

t<sub>4</sub>: I<sub>C</sub> の 電 流 零 点

t<sub>5</sub>: I<sub>V</sub> の 電 流 零 点

f<sub>V</sub>: I<sub>C</sub> によるアーク時間

T<sub>V</sub>: I<sub>V</sub> によるアークは

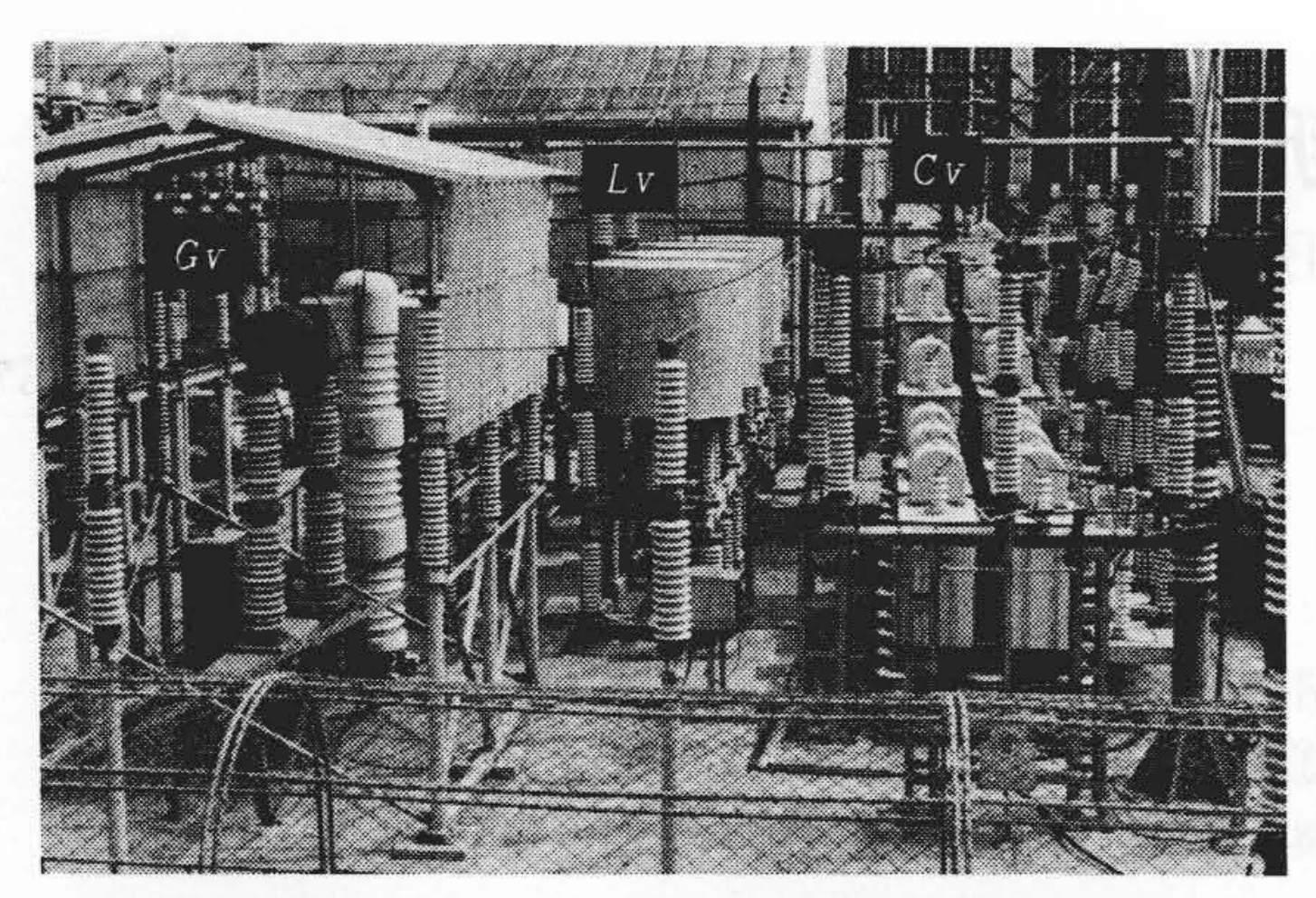
T<sub>V</sub>: I<sub>V</sub> の 周 は はよい

T<sub>V</sub>: I<sub>V</sub> によるアークは

T<sub>V</sub>: I<sub></sub>

図2 合成試験時の電圧電流

<sup>\*</sup> 日立製作所日立研究所



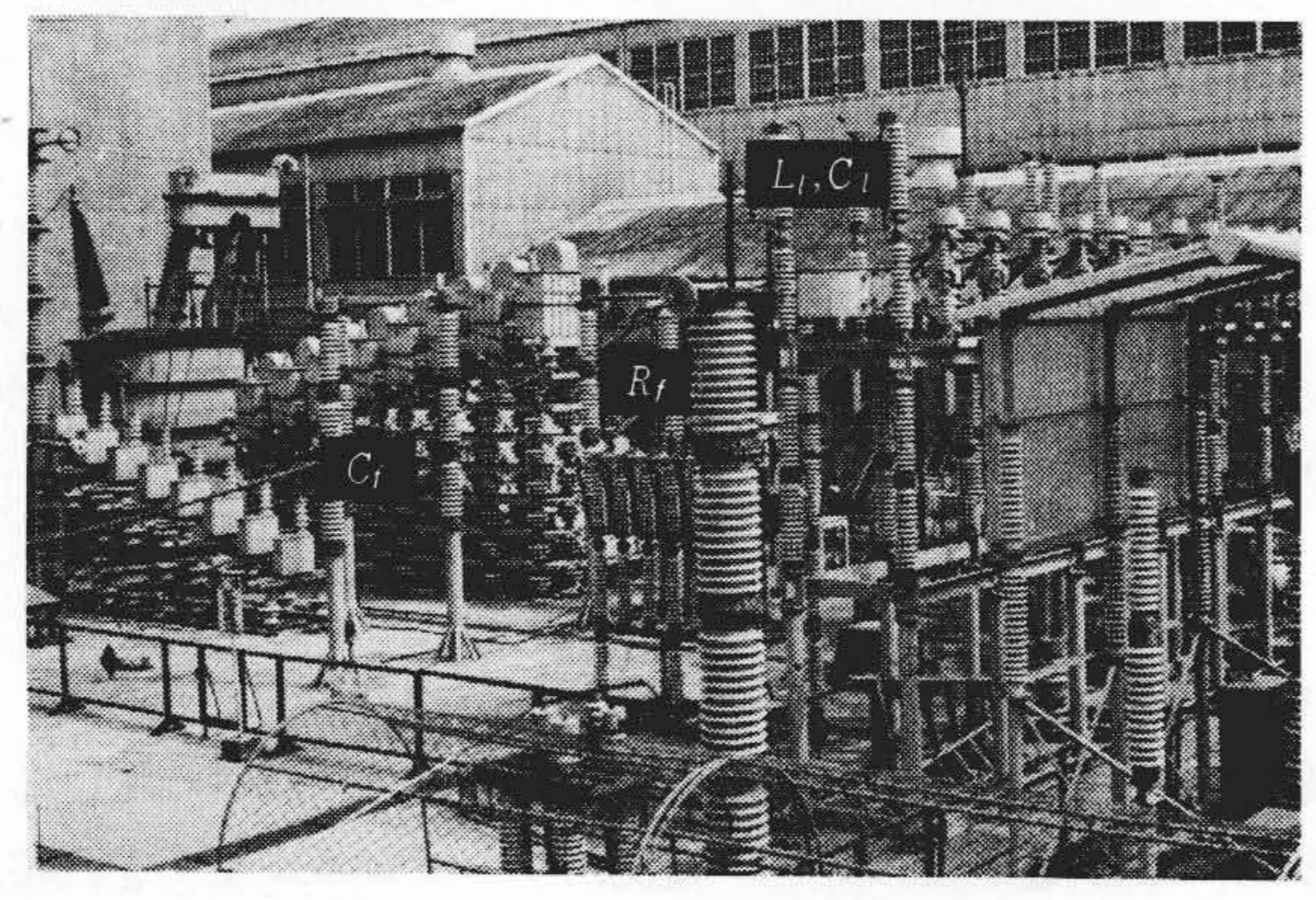


図3 電圧源設備の外観

#### 電圧源設備の概要 表 1

名称(略号)	仕様と構成							
Cv	DC 100 kV×16 個,最大充電々圧 400 kV,電圧バランス用抵抗付							
充電装置	DC 500 kV, 50 mA, コッククロフト・ウオルトン回路							
$L_V$	最大 25 mH まで 0.1 mH ごとに調整可能, 50 mm <sup>2</sup> , 空心							
G	500 mmø 半球,最大ギャップ長 800 mm,モータ駆動,光パルス制御							
$C_f$	AC 20 kV 2.7 μF×16 個, AC 40 kV 0.1 μF×8 個							
$R_f$	最大 1,365Ω まで1Ωごとに調整可能,無誘導形金属板抵抗							
$L_l$	0.25 mH×10 個(50 mm²), 0.083 mH×16 個(150 mm²), 0.2 mH 10 個 (100 mm²), いずれも空心							
$C_l$	AC 40 kV 8,000 pF×40 個, AC 12 kV 500, 1,000, 2,000 pF 各 8 個							

- 備考 (1)  $C_V$ ,  $C_f$ ,  $C_l$  は付属断路器により直並列切換可能
  - (2)  $L_V$ , G,  $R_f$ ,  $L_l$  (0.25 mH×10),  $C_l$  (8000 pF×40) は対地絶縁 140 号)
  - (3) このほか充電、放電用抵抗、断路器類から成る

電圧源設備は図3に示すように屋外配置である。設備の概要は表 1に示すとおりである。設備規模のめやすとなる電圧源コンデンサ は 400 kJで、部分試験の採用により 300 kV 25 GVA~550 kV 450 GVA以上の性能検証がじゅうぶん可能である。

# 3. 遮断器端子短絡遮断の合成試験

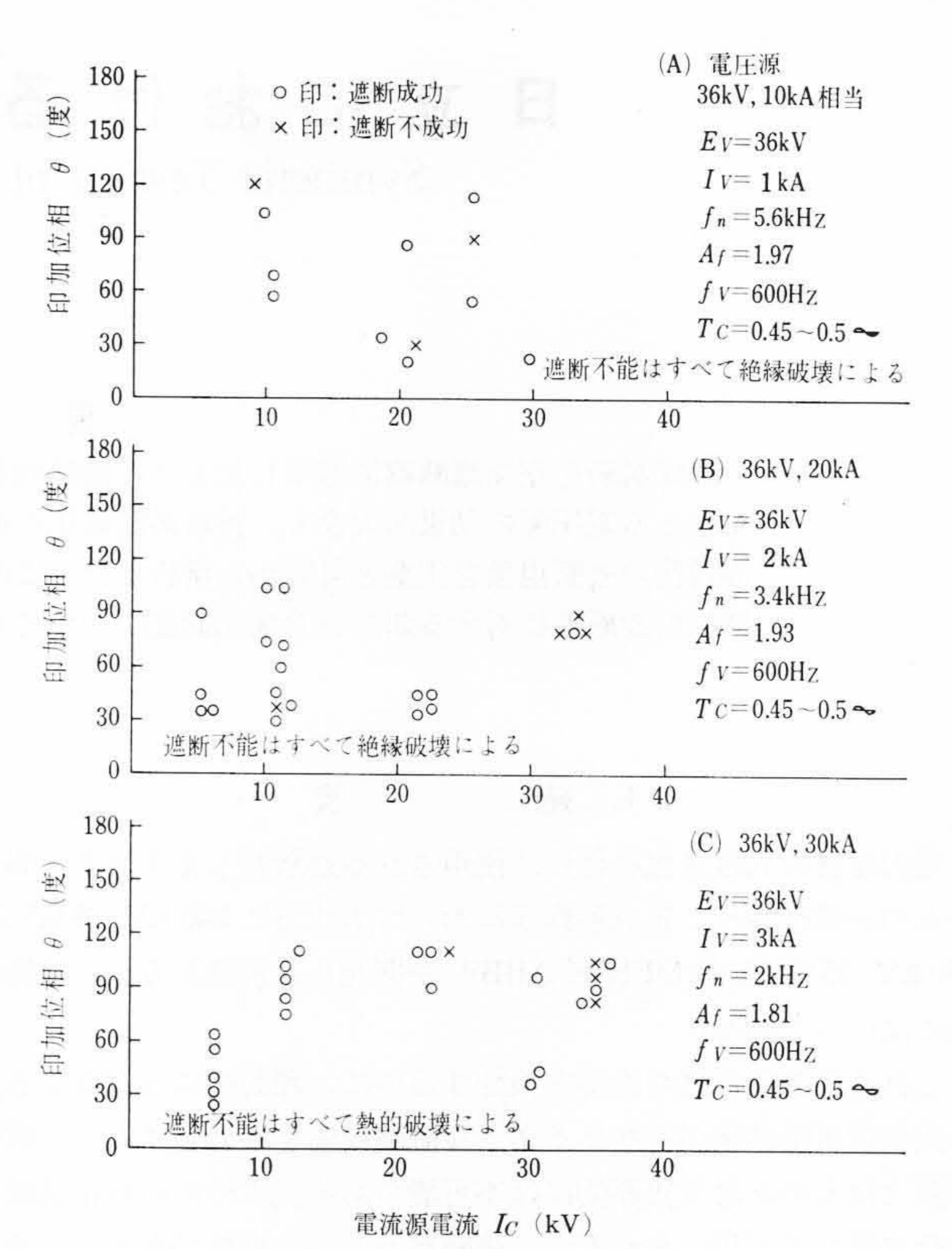
#### 3.1 合成試験時の遮断判定に及ぼす諸因子効果

合成試験の等価性を論ずる前に,実際の合成試験適用時の問題点 を明らかにする意図から諸因子効果を検討した。

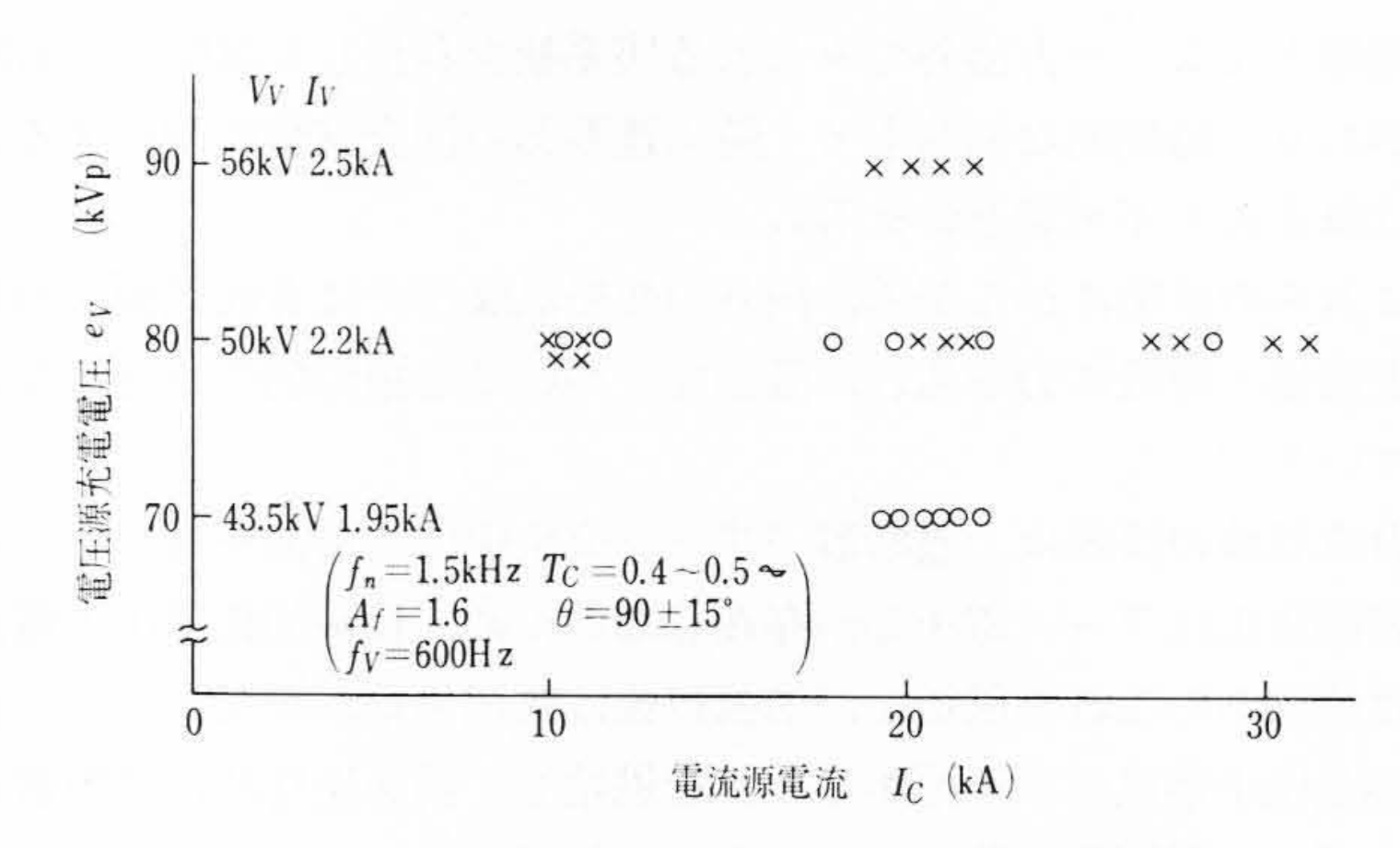
#### 印加位相の効果 3.1.1

試験は3種類の電圧源条件(回復電圧36kV,遮断電流10,20, 30 kA 相当) のそれぞれにつき電流源電流  $I_c$  を 5~35 kA に変化 し、 $I_c$  の効果を調べるとともに印加位相 $\theta$ を $20\sim170$ 度(電圧源電 流周波数 fv 基準の電気角度, 図 2 参照) の範囲に変化してその効 果も調べた。試験結果を示す図4から、電圧源条件が一定でほぼ 同じ電流源電流を遮断した場合に、 の大小により遮断成否の割 合がどうなっているかを調べることにより $\theta$ の効果が知られる。

 $\theta$  の効果があるとすれば図 2 から判断して、 $\theta$  が大きいほど遮



電流源電流, 印加位相の効果



電圧源と電流源の効果比較

断困難になると常識的に考えられる。試験回数が少ないがあえて  $\theta$  の効果を論ずると、 $\theta=30\sim35$  度の小さい所でも遮断不能を発 生しており、 $\theta=30\sim120$  度の範囲では明確な有意差はみられな い。なお  $f_v$ =500 Hz の場合  $\theta$ =30~138 度の範囲で有意差なしと の結果(2)も発表されており、これを裏付けるものである。

#### 3.1.2 電流源電流の効果

電流源電流 Ic は大きいほどアークエネルギーも大きく, 遮断が 過酷になると常識的には考えられる。図4の結果から、(A)では  $I_c=10\sim30$  kA, (B)では5~22 kA, (C)では5~12 kA の範囲で 明確な  $I_c$  の効果はみられないが、(B)(C)においては  $I_c$  が 10 kA 程度と 30~35 kA 程度とでは遮断の成否にかなり明確な有意 差が認められる。この結果から、電流源電流の効果は電圧源条件 (特に電圧源電流)が過酷な場合ほど大きくなるといえよう。

#### 3.1.3 電圧源と電流源の影響力の比較

遮断判定に及ぼす電圧源  $(e_{V} \propto V_{V}, I_{V})$  と電流源  $(I_{c})$  の効果に ついて調べた結果例を図 5 に示す。 電圧源を一定  $(e_V = 80 \text{ kV}_P)$ 50 kV 22 kA 相当) にして、Ic を 10~30 kA (20 kA±50%) に変 えても遮断成否に及ぼす効果はさほど明確でない。これに対し電 流源を一定 ( $I_c=19\sim22 \text{ kA}$ ) として、電圧源を  $e_v=70\sim90 \text{ kV}_p$ (50 kV, 22 kA±12.5%) に変えると明確な有意差がみられた。こ

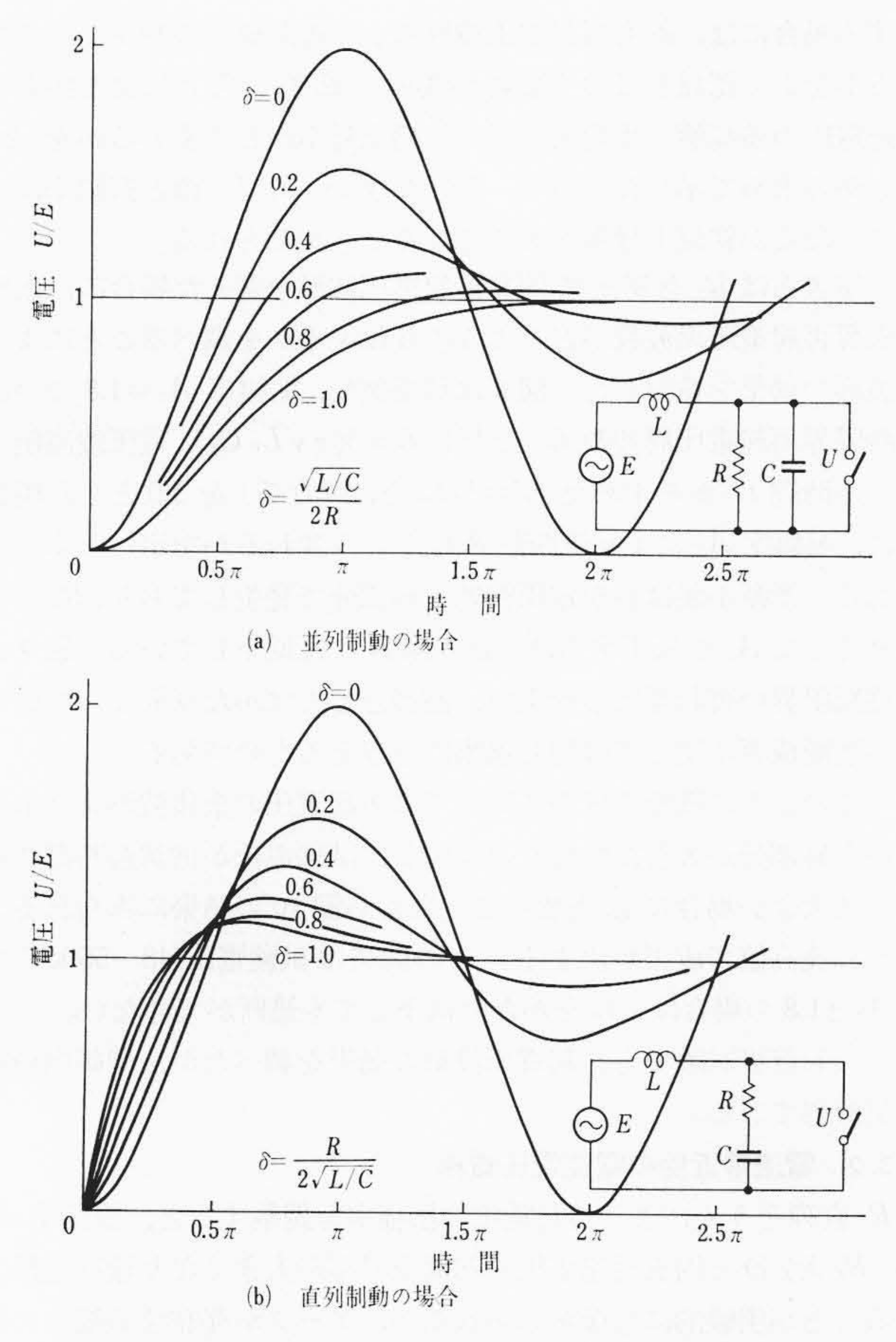


図6 固有再起電圧波形に及ぼす制動抵抗の影響

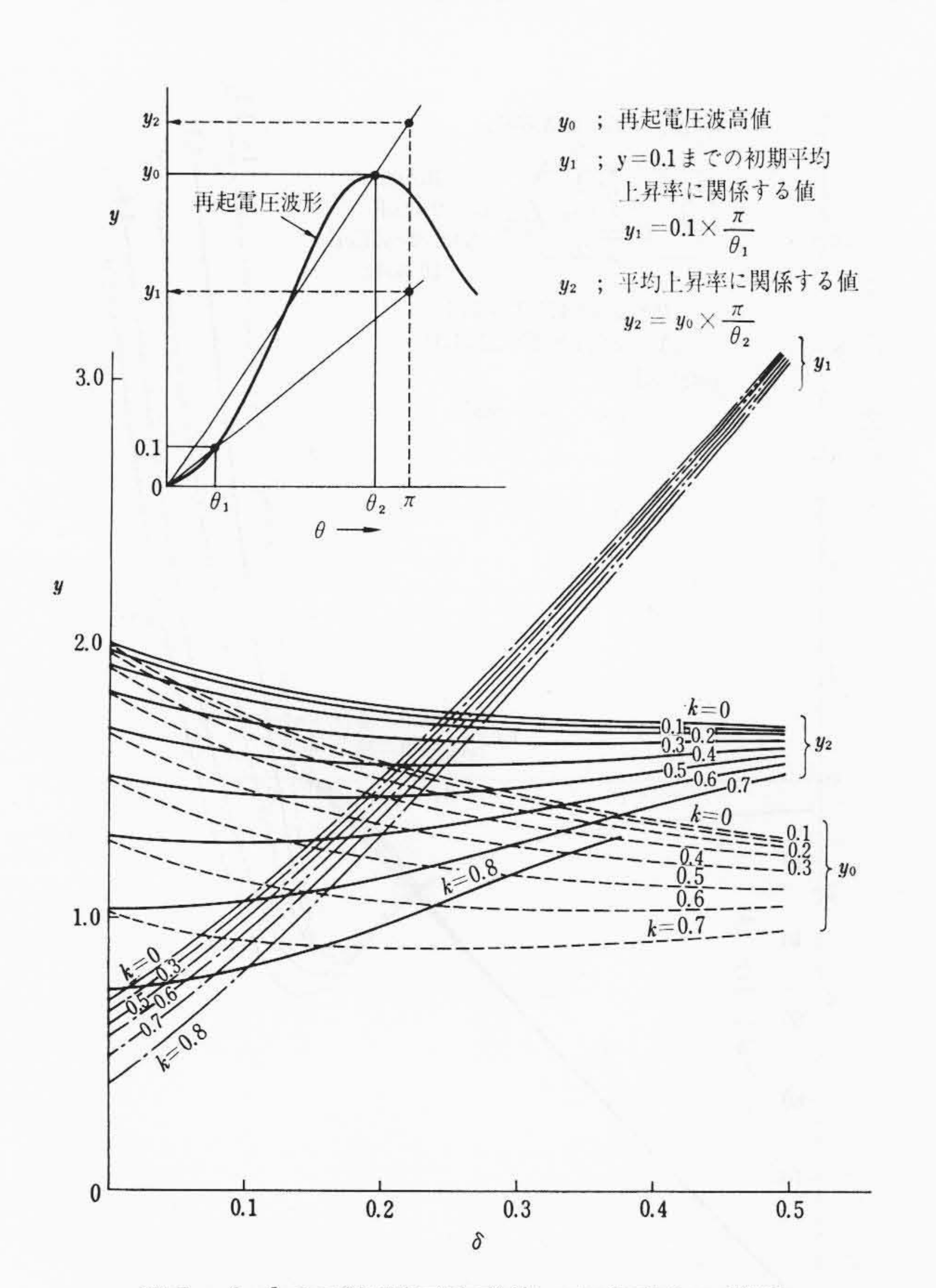


図7  $\delta$ , k と再起電圧波高値, 上昇率との関係

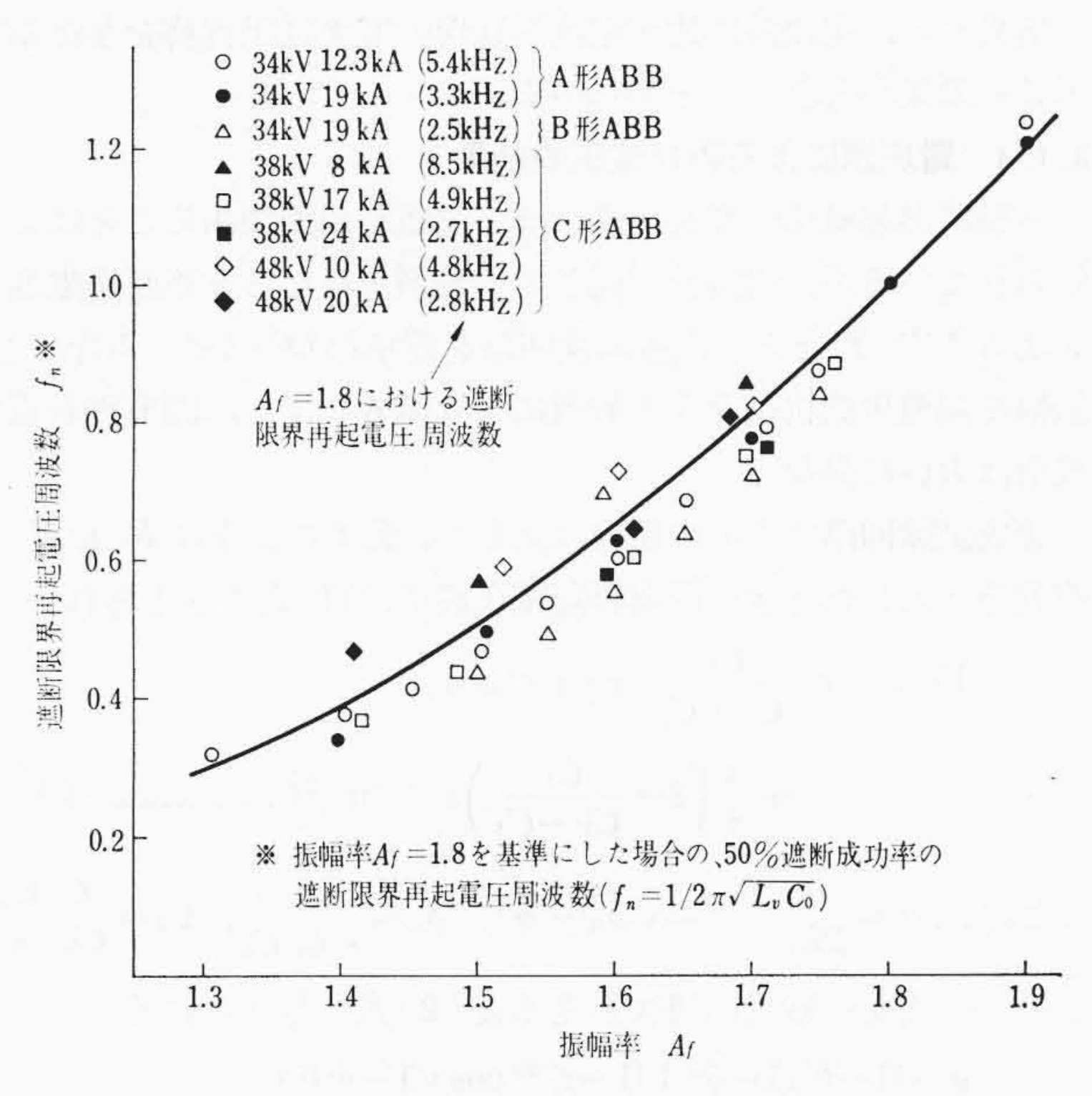
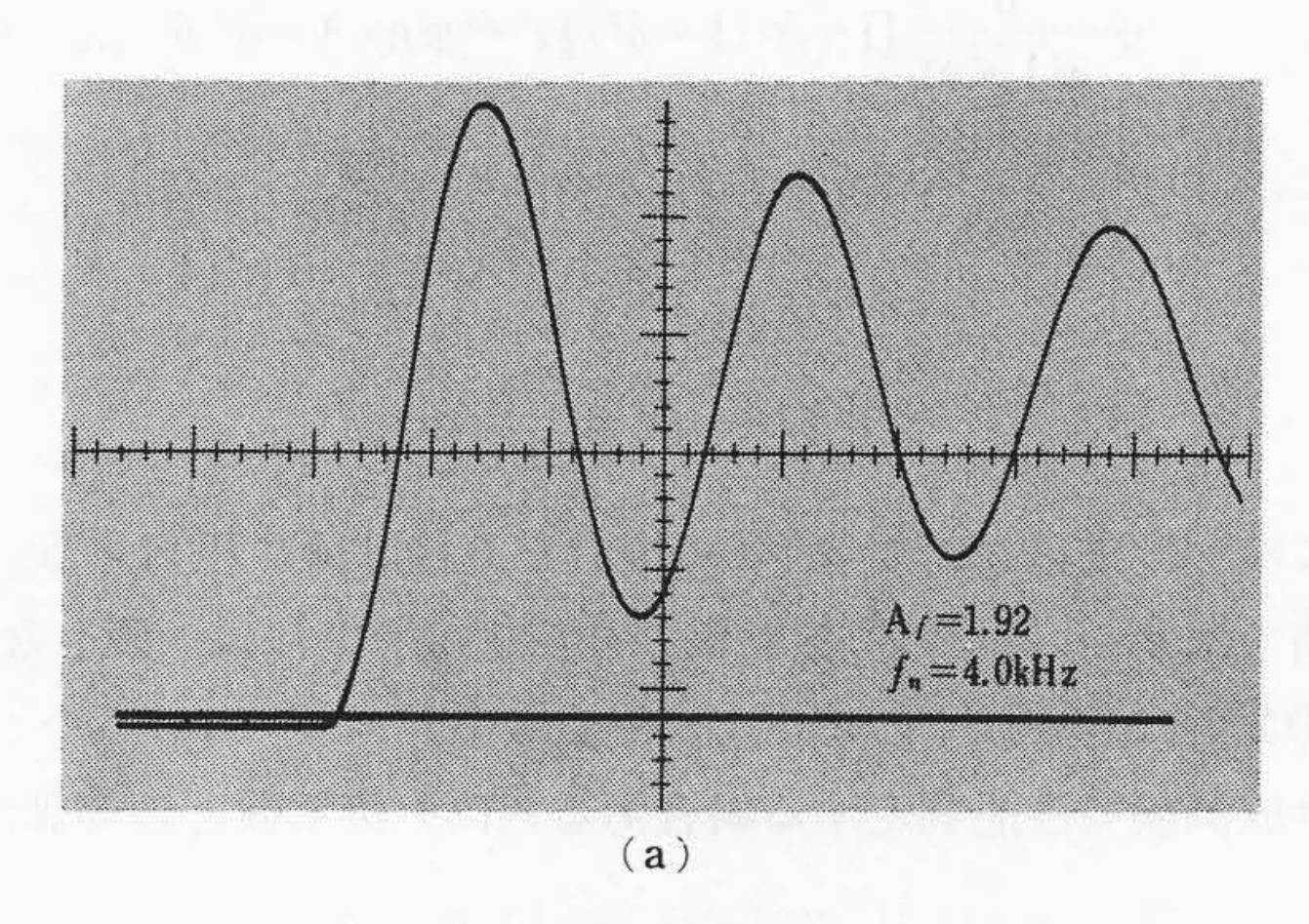


図8 振幅率と遮断限界周波数の関係



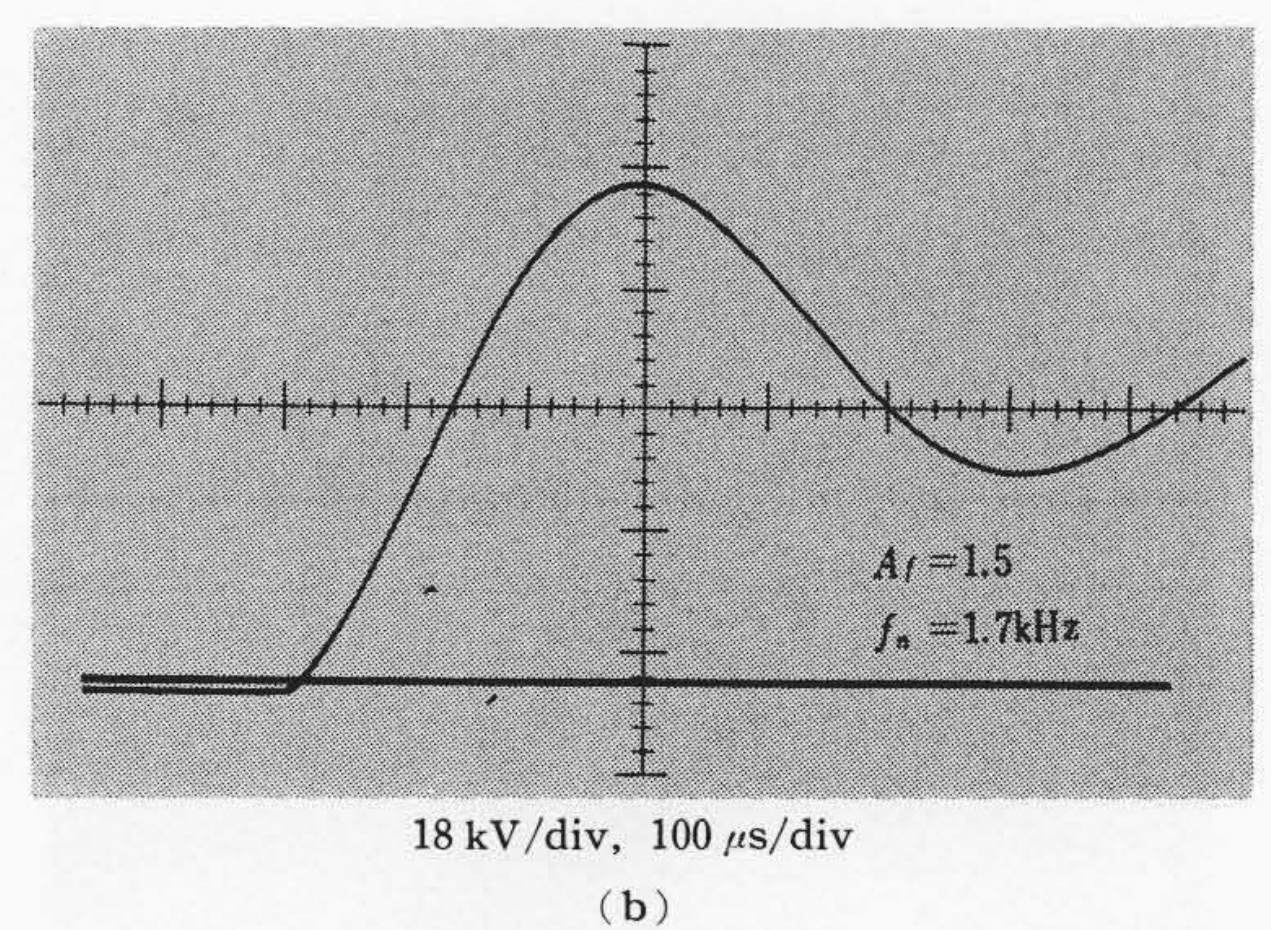


図 9 遮断限界再起電圧波形例 (34 kV 19 kA)

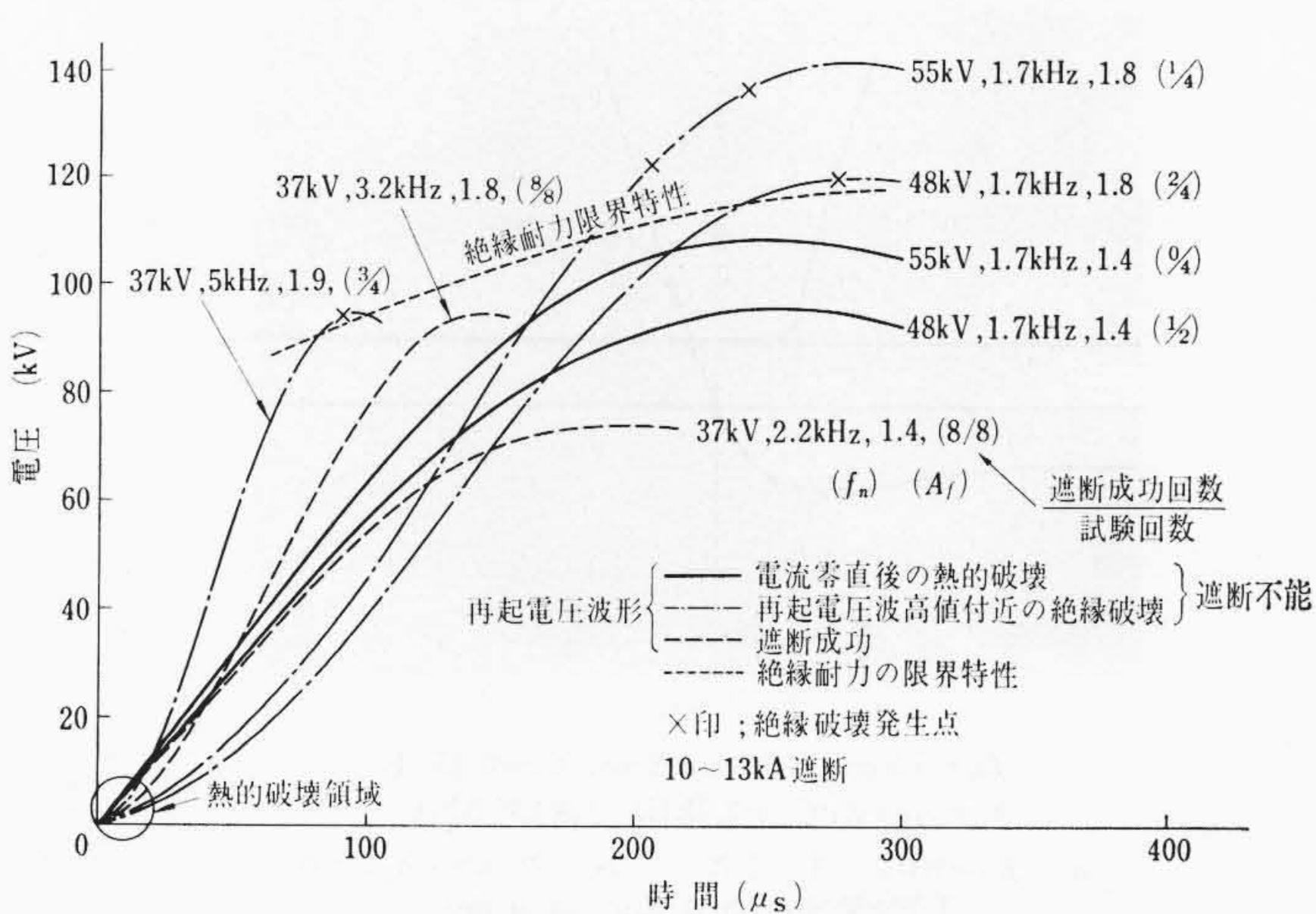


図 10 消弧後の絶縁耐力回復特性

の結果から、電流源に比べ電流零近傍の電流電圧責務を与える電 圧源の効果が大きいことがわかる。

### 3.1.4 電圧源による再起電圧の効果

一般に再起電圧周波数が高いほど遮断が過酷であることはよく知られているが、周波数が同じでも波形が異なると遮断過酷度も異なる<sup>(8)(9)</sup>。たとえば直接試験回路を簡単なLC回路とみなすと、振幅率調整用抵抗のそう入個所により図6のように固有再起電圧波形は大いに異なる。

合成試験回路でもその傾向は同じで、図1のように $R_f$ を $C_f$ に直列そう入したときの固有再起電圧波形は(1)式で与えられる $^{(6)}$ 。

$$V_{V}(t) = e_{V} \frac{C_{V}}{C_{V} + C_{f}} (1 - \varepsilon^{-\alpha t} \cos \beta t)$$

$$+ e_{V} \frac{\alpha}{\beta} \left( 2 - \frac{C_{V}}{C_{V} + C_{f}} \right) \varepsilon^{-\alpha t} \sin \beta t \dots (1)$$
ここに、 $\alpha = \frac{R_{f}}{2L_{V}}$ 、 $\beta = \sqrt{\beta_{0}^{2} - \alpha^{2}}$ 、 $\beta_{0} = \frac{1}{\sqrt{L_{V}C_{0}}}$ 、 $C_{0} = \frac{C_{V}C_{f}}{C_{V} + C_{f}}$ 
この(1)式を一般式に書き換えると(2)式で与えられる。
$$y = \{1 - k^{2}(1 - \delta^{2})\} \{1 - \varepsilon^{-\delta \theta} \cos \sqrt{1 - \delta^{2}\theta}\}$$

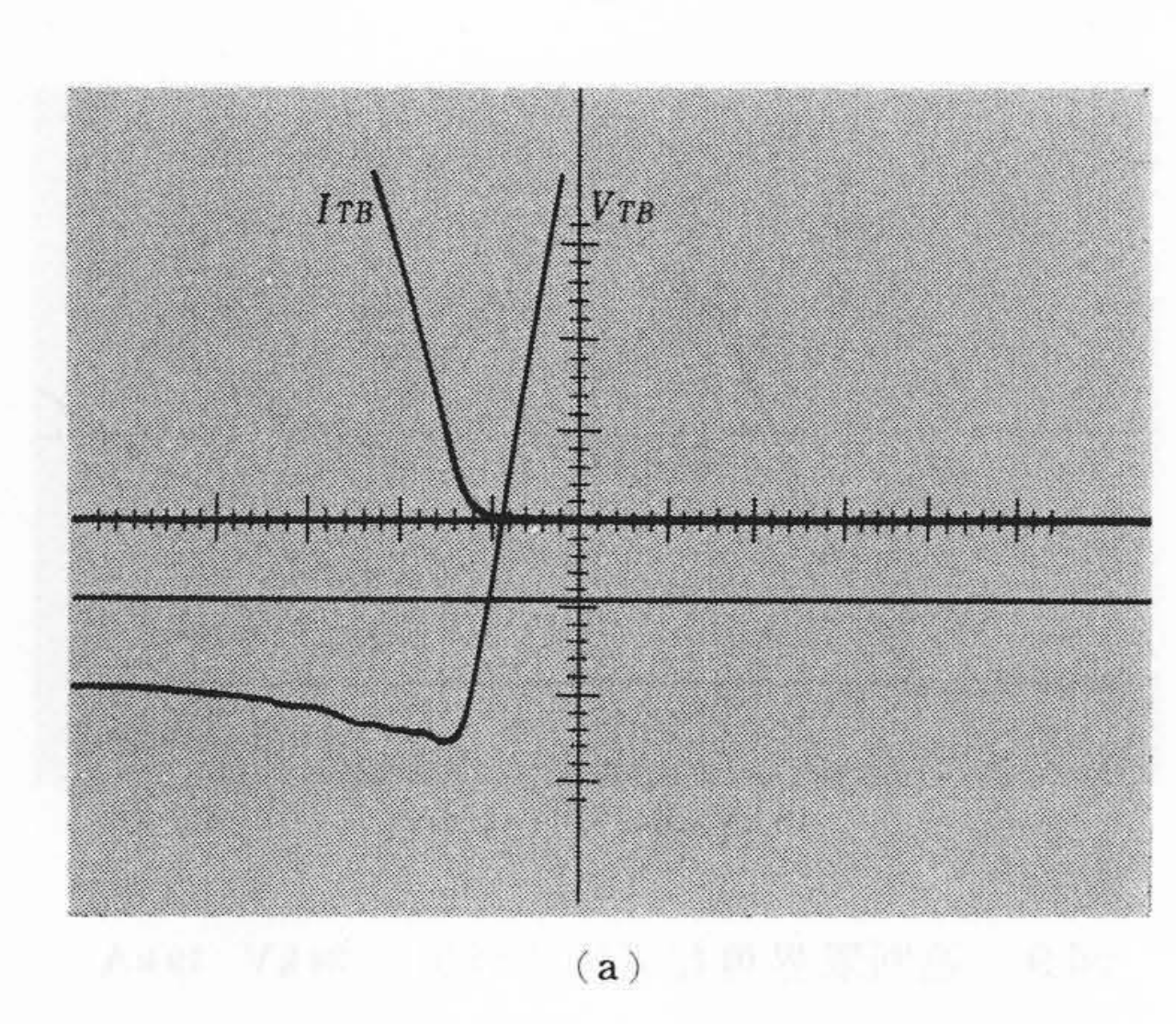
$$+\frac{\delta}{\sqrt{1-\delta^2}}\left\{1+k^2(1-\delta^2)\right\}\varepsilon^{-\delta\theta}\sin\sqrt{1-\delta^2}\theta \quad .....(2)$$

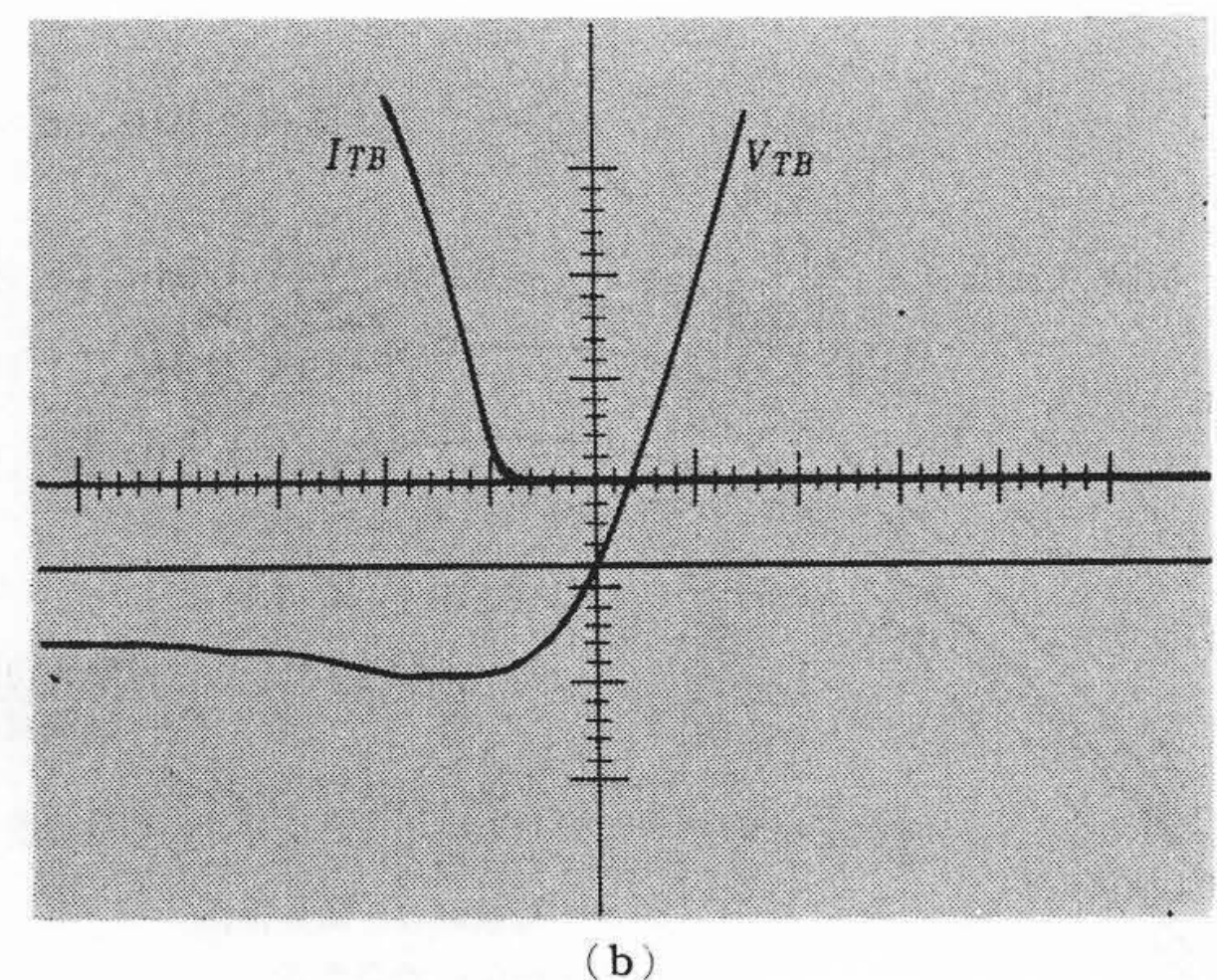
$$\varepsilon \in \mathcal{V}_{\mathcal{E}}, \quad y=\frac{V_V(t)}{e_V}, \quad \theta=\beta_0 t, \quad \delta=\frac{R_f}{2\sqrt{\frac{L_V}{C}}},$$

$$k = \frac{\omega}{\beta}$$
,  $\omega = 2\pi f_V$ ,  $f_V = \frac{1}{2\pi \sqrt{L_V C_V}}$ 

この(2)式において k=0 の場合が直接試験に相当する。合成試験では  $k \neq 0$  のため直接試験の波形とは完全には一致しないが,  $k \leq 0.2$  では 5% 以下の差でよく一致する (6) 。

合成試験で性能判定する場合あるいは直接試験との等価性を論





 $L_V = 5.3 \text{ mH}, C_V = 13.3 \mu\text{F}, C_f = 0.45 \mu\text{F}$  $f_n = \frac{1}{2}\pi \sqrt{L_V C_0} = 3.1 \text{kHz} \quad (14 \text{ kV} \ 8 \text{ kA})$ 

(a)  $R_f = 100 \Omega$  ( $A_f = 1.3$ ) (b)  $R_f = 0$  ( $A_f = 2.0$ ) (1,750 V/div, 20 A/div, 20  $\mu$ s/div)

図 11 電流零近傍の電流電圧波形 (実測例)

ずる場合には、固有再起電圧波形により遮断成否の判定がどうなるかをよく認識しておく必要がある。 図 7 は  $\delta$ , k により固有再起電圧の波高値、平均上昇率、初期上昇率がどう変わるかを(2)式から求めて示したもので、 $\delta$  が大きい ( $R_f$  大) ほど振幅率は小さくなるが初期上昇率が大きくなることが知られる。

筆者らは  $R_f$  を変えて固有再起電圧波形を変えた場合に、遮断限界再起電圧周波数がどのように変化するかを調べることにより波形の効果を検討した。図 8 は結果例で、振幅率  $A_f$ =1.8 での遮断限界再起電圧周波数  $f_n$  (ただし  $f_n$ = $\frac{1}{2}\pi\sqrt{L_VC_0}$ )。電圧波高値までの時間  $t_m$  から求めた  $f_n'$ = $\frac{1}{4}t_m$  とは異なる)を 1.0 とした場合に、振幅率  $A_f$  により遮断限界  $f_n$  がどう変わるかを示したものである。遮断不能は再起電圧初期上昇部分で発生しており、 $R_f$  を大きくして  $A_f$  を低下するほど遮断限界  $f_n$  は低下している。図 9 は遮断限界の再起電圧波形例で、波形としてはかなり異なっているが遮断成否に関しては同じ過酷度を与えるものである。

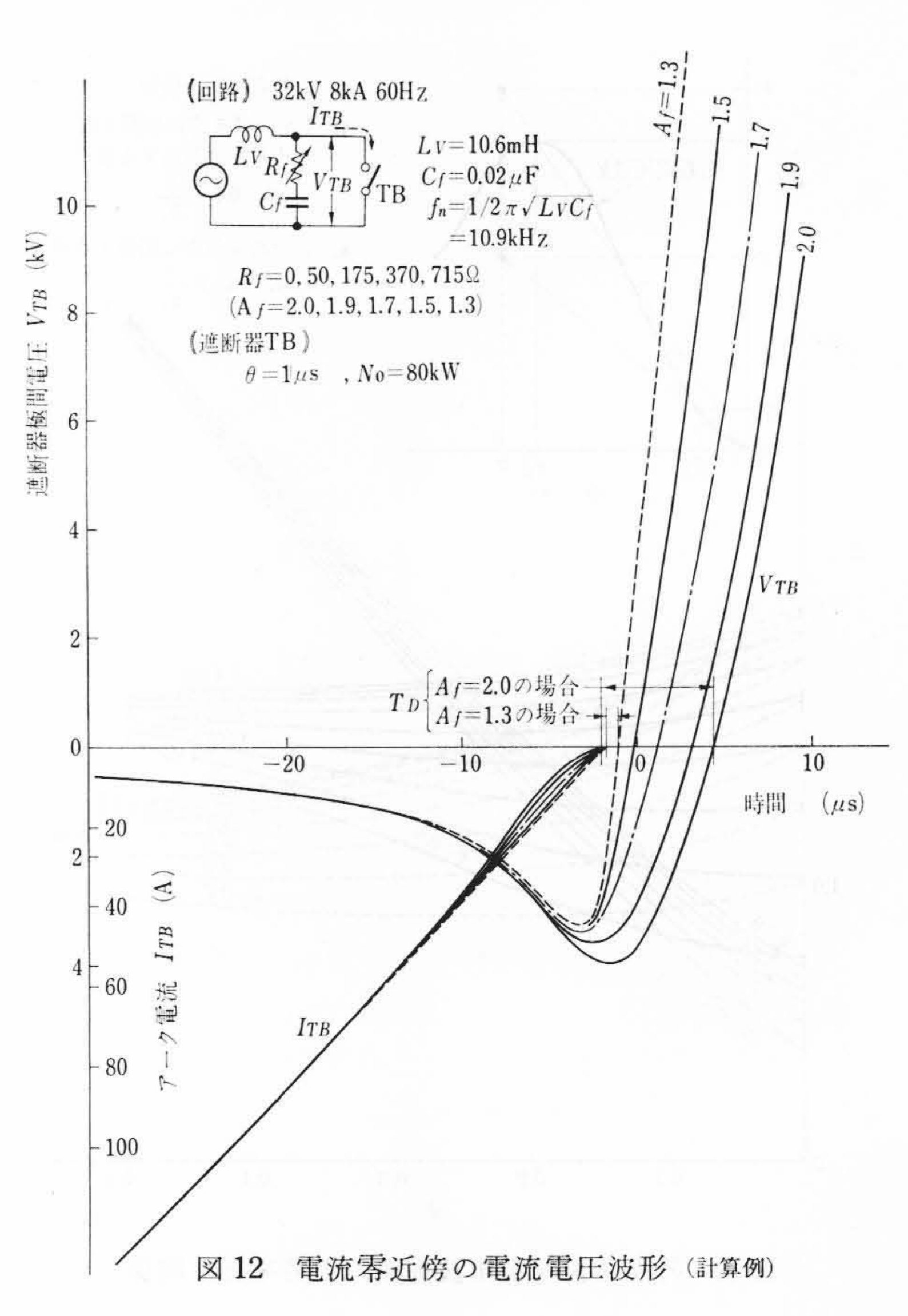
このように遮断の成否に関しては再起電圧の全体波形よりも初期上昇部分が大きな影響を及ぼすが、試験電圧が供試遮断器に対して大きい場合には当然のことながら図 10 の結果にみられるように波高値で成否が決まる。この例では試験電圧  $48\sim55~\mathrm{kV}$  で $A_f \ge 1.8$  の場合は、 $f_n$  をかなり低下しても遮断ができない。

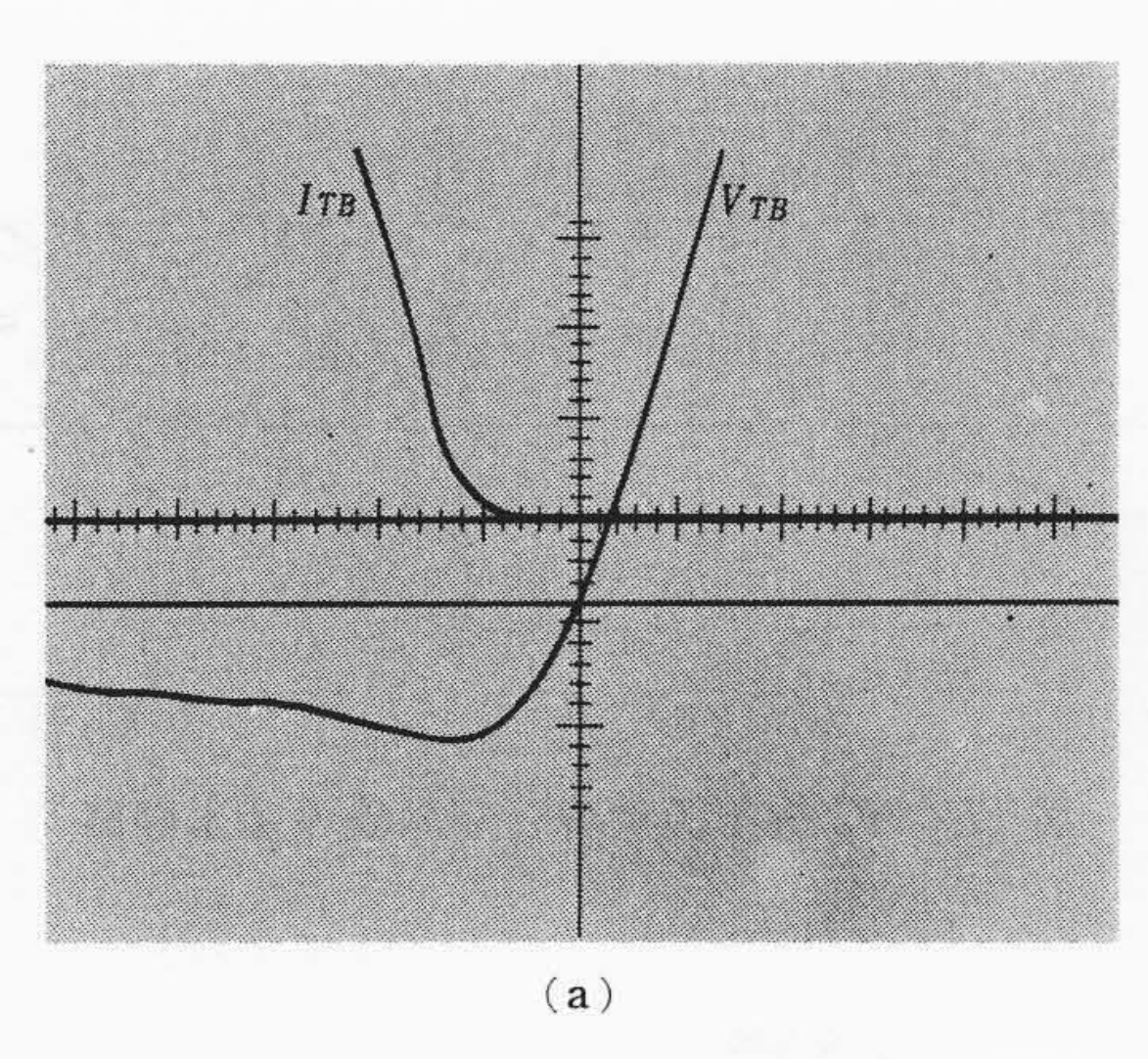
なお直接試験でも再起電圧波形の効果を調べたが, 同傾向の結果を得ている。

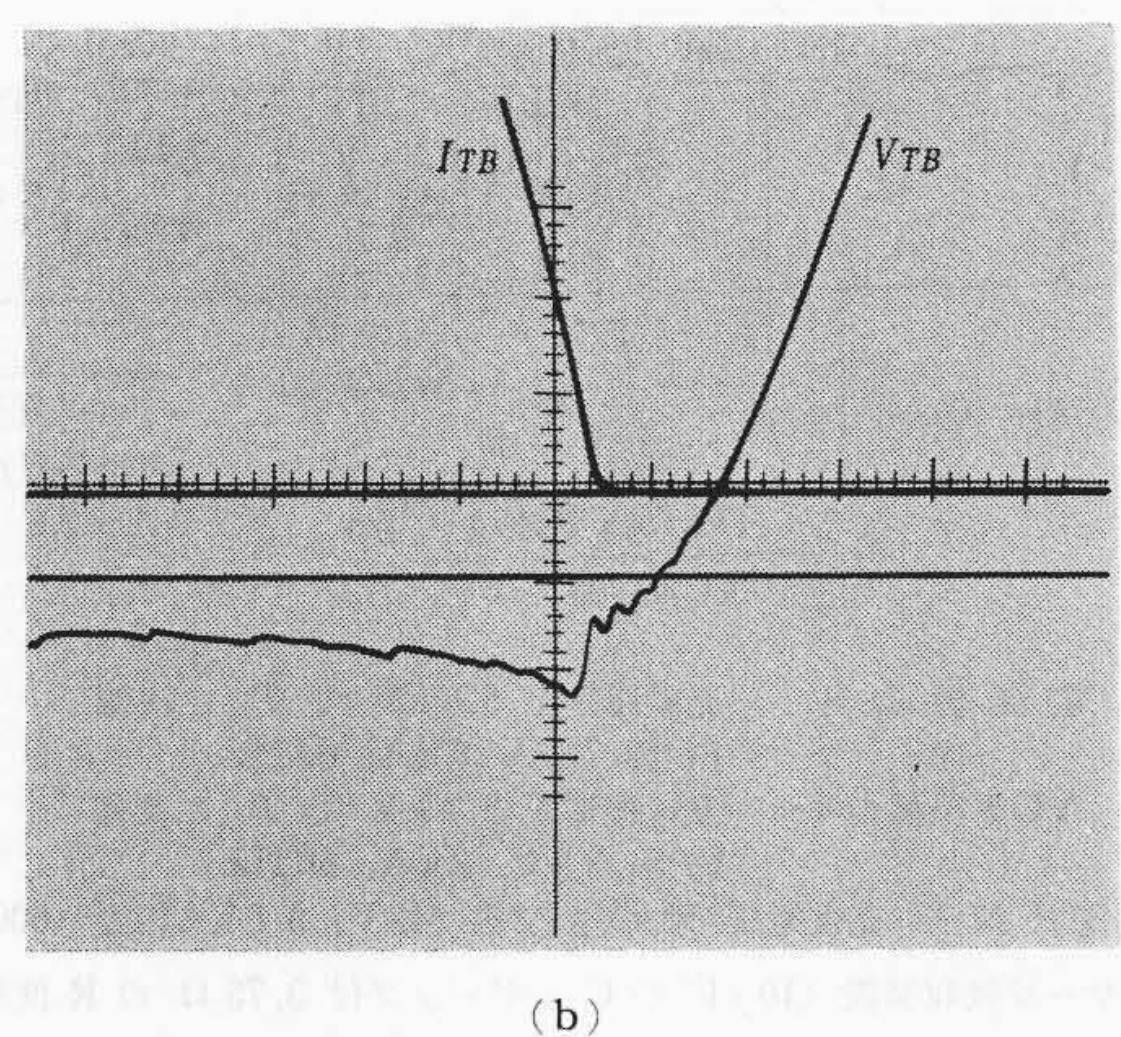
#### 3.2 電流零近傍の電流電圧責務

 $R_f$  直列そう入により再起電圧の振幅率を調整すると、振幅率  $A_f$  小  $(R_f$  大) ほど固有再起電圧の初期上昇率が大きくなり遮断過酷であることが実験的にも確かめられたが、アークが存在する場合の電流零近傍の電流電圧現象から  $R_f$  の効果を考察してみる。

合成試験による実測波形例を図 11 に示す。 現象を明確にするため再起電圧周波数が比較的小さく,かつ  $R_I$  値が極端に異なるものの比較例である。 図 12 は零近傍現象をよく説明するといわれてい







 $L_V$ =5.3 mH.  $C_V$ =13.3  $\mu$ F,  $C_f$ =0.45  $\mu$ F,  $R_f$ =0  $\Omega$   $A_f$ =2.0,  $f_n = \frac{1}{2}\pi \sqrt{L_V C_0}$ =3.1k Hz (14 kV 8 kA) (1,750 V/div, 20 A/div, 20  $\mu$ s/div)

- (a) 配線の短い場合 (約 2 m)
- (b) 配線の長い場合 (約 100 m)

図 13 配線の長さによる電圧波形の相違

る Mayr 氏のアーク動特性式を用い、再起電圧周波数の比較的大きい直接試験回路を対象に計算した波形例である。

この実測および計算波形から、 $R_f$ 値の大小により零近傍のアーク電流波形が若干影響を受ける。また  $R_f$ 値が大きいほどアーク電流零から再起電圧印加までの休止期間  $T_D$  が短くなっている。 $R_f$   $C_f$ 直列回路の固有再起電圧初期上昇率(t=+0における接線上昇率)は  $rrrV_0 \propto R_f$  で与えられ、 $A_f=2$  すなわち  $R_f=0$  の場合は  $rrrV_0=0$  である。しかし実際の遮断器でアーク電圧が存在する場合は、あたかもアーク電圧分だけ固有再起電圧が移動したような形となり、たとえ  $R_f=0$  の場合でも電圧零における再起電圧上昇率は有限値となる。このため電圧零における実測再起電圧上昇率のみで回路の過酷さは規定できず、休止期間  $T_D$  の効果を含めて考えなければならない。

ワイル合成試験のようないわゆる電流そう入方式の等価試験では、2.1 で述べたように回復電圧、電流零近傍の電流傾斜、短絡駆動点インピーダンス関数を直接試験回路と一致するように電圧源回路を構成してやると、電流零近傍の現象も直接試験とよく合致するものとなるが、電圧そう入方式の等価試験では単に電流遮断時の再起電圧波形を直接試験による波形と一致させるだけでは不じゅうぶんで、休止期間  $T_D$  も合わせて考慮した等価な試験を実施する必要がある。一般に固有再起電圧周波数が低いほど期間  $t_D$  は長くなるため、電流源の周波数を低くして、その再起電圧に電圧源を重畳して再起電圧波形を直接試験時のそれに合わせても、 $t_D$  に差があると等価は試験とはならないことになろう。

# 3.3 合成試験実施上の注意事項

合成試験実施上の注意事項として, たとえば電流そう入法の合成

表 2 直接試験と合成試験の比較

試験種類	項番		アーク	回復電圧		再 起 電		圧	遮断
			100	定 常 (*1	瞬 時 b *1	波高值 a *1	周波数 fn *1	振幅率 Af *1	r 15 mb 162
		kA	$\sim$	kVeff	kVeff	kVp	kHz	-	*2
直	1	12.0	0.49	33.5	28.6	73.1	6.8	1.81	4/4
	2	12.1	0.45	32.7	28.1	72.5	8.0	1.81	4/4
接	3	12.0	0.50	32.1	27.8	71.2	8.5	1.81	4/6
試	4	18.8	0.51	33.8	29.7	72.2	2.9	1.72	4/4
	5	18.8	0.52	32.8	28.3	68.6	3.5	1.72	4/4
験	6	18.3	0.46	31.2	26.8	65.6	4.3	1.72	3/3
	7	18.4	0.45	31.3	27.1	64.4	5.0	1.68	3/4
	8	11.7	0.45	30.4	29.1	75.4	7.0	1.82	5/5
合	9	12.2	0.46	31.8	31.3	79.6	7.0	1.81	2/7
成試験	10	17.4	0.45	29.3	28. 2	70.2	3.0	1.76	6/9
	11	17.4	0.46	29.5	28.5	71.2	3.8	1.76	6/11
	12	19.4	0.45	23.8	23.2	61.5	4.3	1.88	8/10

\*1 定常回復電圧は、電流遮断後 16~20 ms で求めた回復電圧

瞬時回路電圧=b再起電圧波高值=a再起電圧周波数  $f_n=1/t$ 再起電圧振幅率  $A_f=a/b$ 

\*2 遮断成功回数/試験回数

\*3 60 Hz 基準

電流源電流は 60 Hz, 電圧源電流は 600 Hz

I,  $T_A$ , c, b, a,  $f_n$ ,  $A_f$  は平均値

試験に関する IEC 案<sup>(10)</sup>では  $I_c$ ,  $I_v$ ,  $\theta$ ,  $f_v$  などに関して, (1) 電圧 源電流周波数  $f_v$ =250~1,000 Hz(2)電圧源電流  $I_v$  の零直前の電流傾斜は規定値(直接試験)の 0~+10%(3)印加位相  $\theta$ =90~135度(4)電流源電流  $I_c$  は規定値の 0~+5% などと規定されている。前述 3.1 の結果から(1)(2)はともかくとして(3)(4)は厳密すぎるようにも思えるが,日立製作所日立研究所では IEC 案に準拠して試験を実施し,一般に  $f_v$ =600 Hz を用いることにしている。

これ以外に,電圧源の固有再起電圧波形にじゅうぶんな注意を払う必要がある。再起電圧波形については現在 IEC で審議中であるが $^{(11)}$ ,初期上昇部分については許容範囲で規定される気運にある。固有再起電圧波形を調整するためのL,C,R の接続法として図6以外に種々考えられるが,初期上昇部分が遮断の成否に大きな影響を及ぼすため,性能判定,等価性を論ずる場合には特に注意する必要がある。

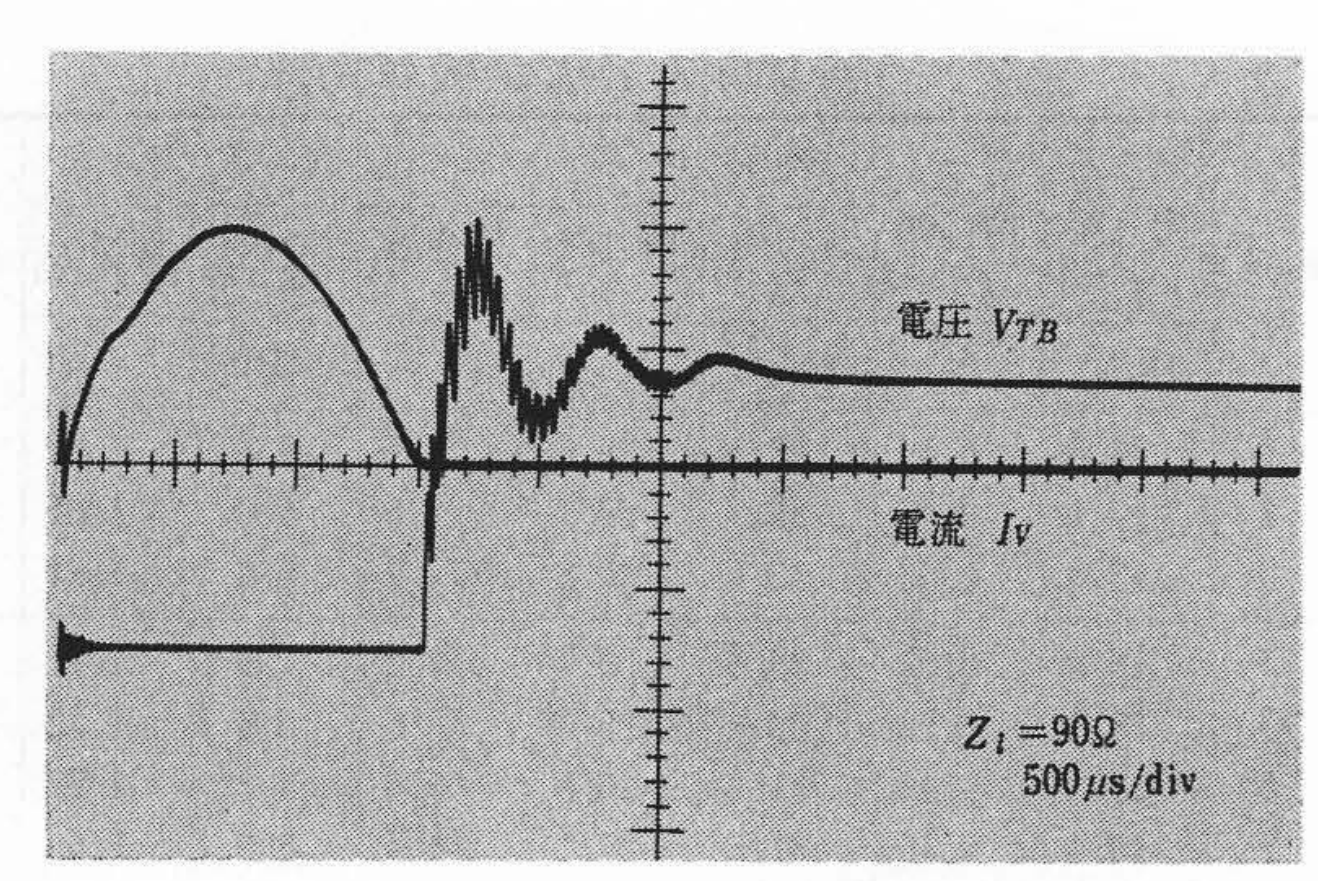
なお実用上の点からは、電圧源から供試遮断器までの配線が長い と図13のように、配線のインダクタンスが模擬線路の作用をして SLF 試験に似た形となるため、機器配置にも注意する必要がある。

#### 3.4 合成試験と直接試験の比較試験例

合成試験の等価性に関する実験研究は内外で盛んに行なわれ、合成試験のほうが直接試験に比べて過酷である例 $^{(12)}$ 、ほぼ同等である $^{(2)\sim(4)(13)}$ などが発表されている。

筆者らが実施した比較試験結果例は表 2に示すとおりである。回路構成上の制約もあり,両回路の条件を完全に一致させることはできなかったが,合成試験が若干過酷な結果となった。この理由としては,直接試験では再起電圧周波数を変更するのに並列  $C_f$  のみを用いたが,合成試験では瞬時回復電圧,再起電圧波高値および周波数を直接試験のそれに合わせるのに  $R_fC_f$  直列回路を用いたため、初期上昇率が大きかったためと考えられる。再起電圧を表 1 注記のように規定した場合,定常回復電圧を同じ値にしても瞬時回復電圧は合成試験より直接試験のほうが一般に低い。したがって JEC-145で規定している回復電圧が同じであっても,再起電圧としては合成試験のほうが過酷で,再起電圧波高値を直接試験に合わせるのに $R_fC_f$  直列回路を用いると,ますます合成試験が過酷となる。直接試験との等価性を論ずる場合,この点をじゅうぶん認識しておく必要がある。

日



 $L_l$ =0.25 mH×4,  $C_l$ =0.016  $\mu$ F×1+0.032  $\mu$ F×3  $L_V$ =2 mH,  $C_V$ =80  $\mu$ F,  $R_f$ =10  $\Omega$ ,  $C_f$ =2.7 $\mu$ F 図 14 SLF 試験時の電流,電圧波形

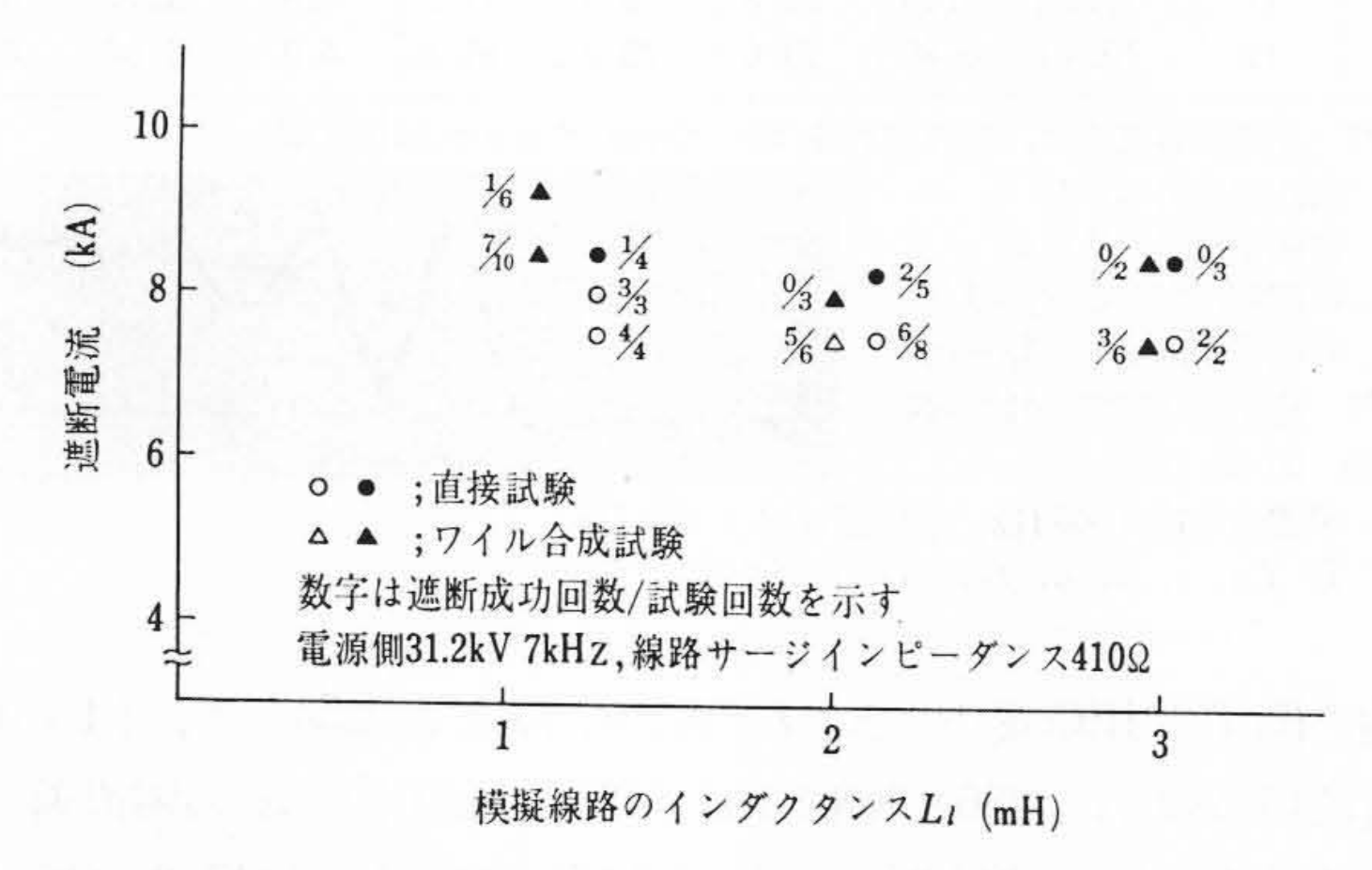


図 15 合成試験と直接試験の SLF 比較試験例

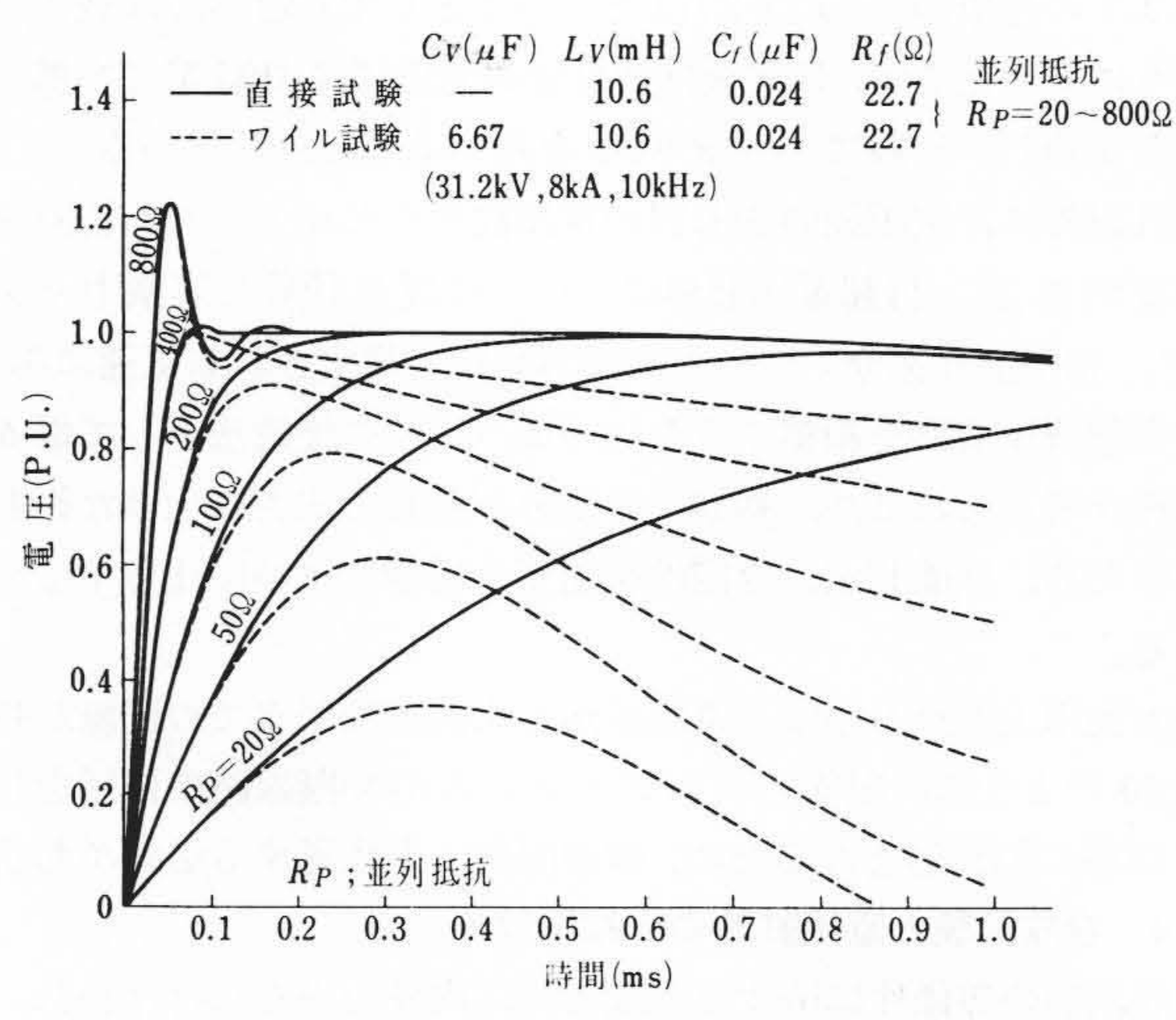


図 16 直接試験とワイル合成試験の固有回復電圧比較

# 4. 近距離線路故障遮断の合成試験

#### 4.1 回路構成

模擬線路の構成法を直列形回路(14)とはしご形回路に大別できるが、日立製作所日立研究所では線路長、サージインピーダンスの選定が容易な後者を用いている。また模擬線路のそう入個所としては、再起電圧調整用回路に直列接続する方法(15)と主回路に直列接続する方法とがあるが、実際の回路と同じ構成にする意図から後者の方法(図1参照)を用いている。

この構成では、線路インダクタンス  $L_I$  と再起電圧調整用コンデンサ  $C_I$  による派生高調波電流 が 電圧 源電流に含まれ、電流零近傍の電流傾斜および再起電圧波形も変歪して等価性がそこなわれるおそれがある。この派生振動電流の防止対策として、 $C_I$  を前もって充電しギャップを介して接続する方法(16)、 $C_I$  と並列に抵抗と Diodeを用いる方法(2)、 $L_V$  と並列にコンデンサを接続する方法(17) など種

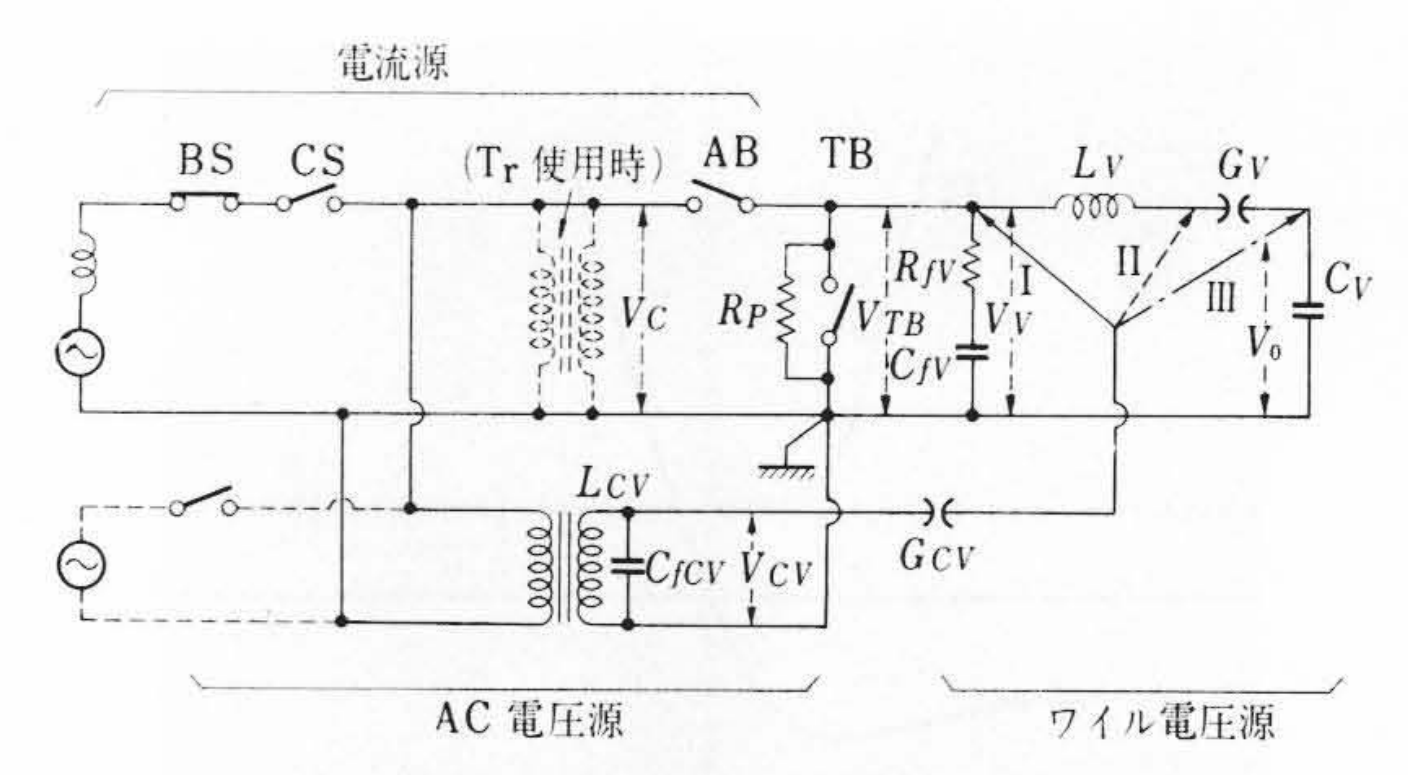
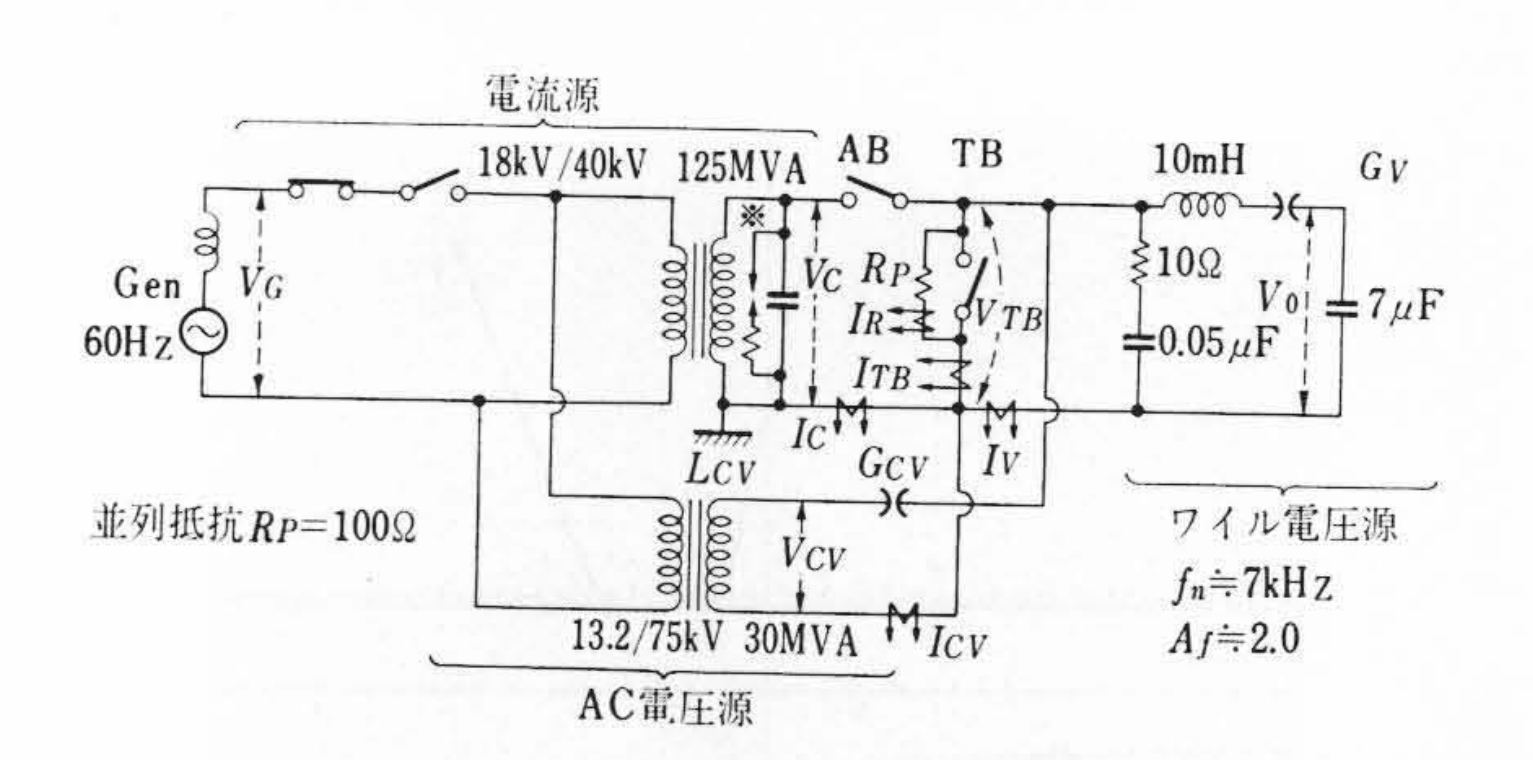


図 17 AC 電圧源重畳合成試験の基本回路



電流源のみ・・・・発電機電圧 5.4 kV で T<sub>r</sub> 二次側約 12.7 kV, 8 kA, 60 Hz A C電圧源のみ・・・・発電機電圧 5.4 kV で T<sub>r</sub> 二次側約 31.2 kV, 2 kA, 60 Hz りィル電圧源・・・・充電電圧 50 kV<sub>p</sub> で約 34kV, 8.8 kA相当 (600 Hz)\*サージ吸収装置 (10 μF の C とギャップ付 3.75 Ω の R 使用)図 18 AC 電圧源重畳合成試験実施時の回路

々考案されているが、 $C_f$ と直列に $R_f$ を用いる簡単な方法でも実用上問題ないので通常この方法を用いている。 図 14 は その一例で、派生振動電流は通電初期にはみられるが 0.5 サイクル通電後の電流零までには減衰している。

# 4.2 模擬線路を用いた合成試験と直接試験の比較試験例

試験電圧 31.2 kV,電源側再起電圧周波数 7 kHz,模擬線路のサージインピーダンス  $410\Omega$  を一定とし、線路インダクタンス  $1\sim3 \text{ mH}$  について合成試験と直接試験の遮断限界電流を求めた結果を図 15 に示す。遮断電流の変更は、電源側インダクタンスの変更により行なわれた。試験回数が少ないため厳密な比較は困難だが、両者の間には大きな差異は認められなかった。

# 5. 並列抵抗付遮断器の合成試験

### 5.1 試験回路の構成

並列抵抗付遮断器にワイル合成試験を適用すると、電圧源コンデンサの電荷が並列抵抗を通して放電するため、図 16 のように遮断器極間にじゅうぶんな電圧が印加されず、等価試験としての信頼性が劣ることになる。このためワイル電圧源とは別に AC 電圧源を設け、回復電圧の低減を AC 電圧源により補償する合成試験回路が考えられる。現在、超高圧電力研究所主催の遮断器等価試験研究委員会で本格的な実験研究がなされているが、ここでは委員会の一員として行なった日立製作所日立研究所での予備検討結果について簡単に述べる。

回路としては図 17 に示したように、AC 電圧源の電源として実線のように電流源と同じ短絡発電機を用いるものと破線のように別電源から供給するものとがある。また AC 電圧源の接続個所としては  $I \sim III$  の三とおりがある。 $L_V$ ,  $G_V$  の電流責務, $G_{CV}$  の制御,電流源と AC 電圧源の同期などの点から検討した結果,AC 電圧源を電流源と同じ電源から供給し,AC 電圧源を供試遮断器に並列接続する I 回路が最適方法であることがわかった。

#### 5.2 AC 電圧源重畳合成試験の実施例

予備実験を図 18 回路 で行なったが、代表的なオシログラムは図 19 (a)~(d) に示すとおりである。

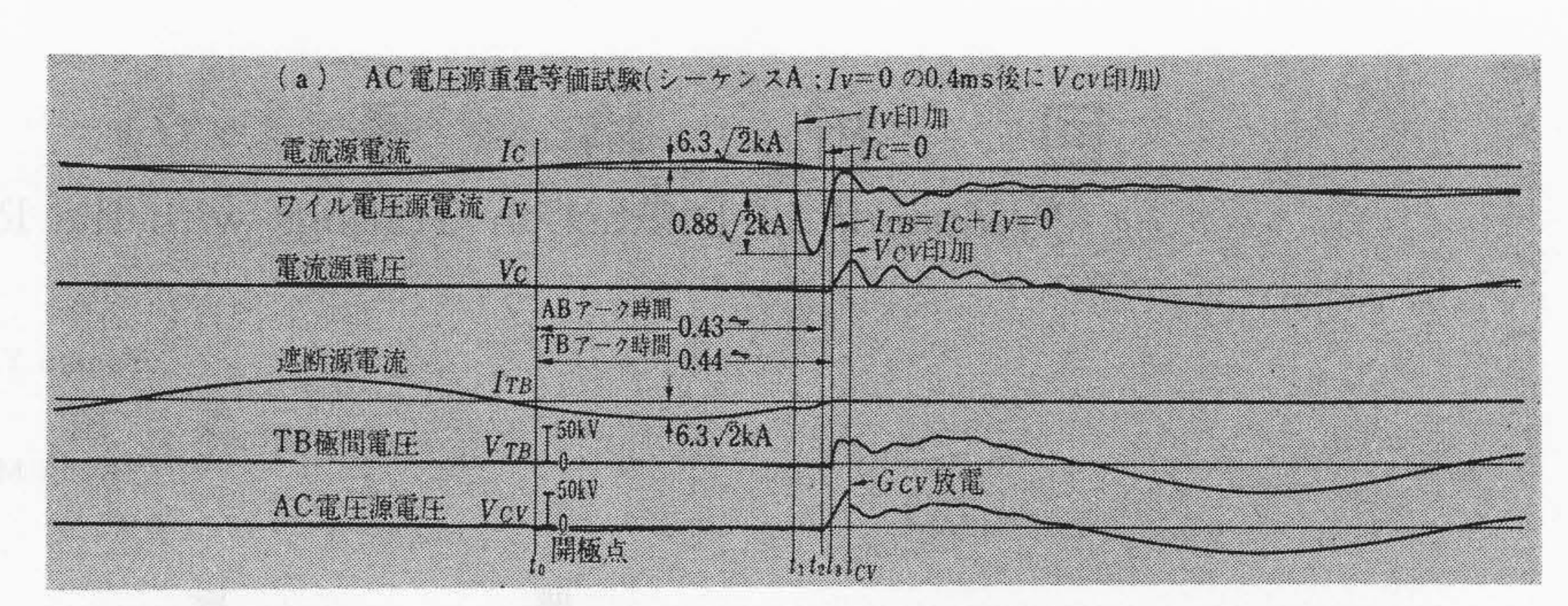
- (a) は  $I_V=0$  の 0.4 ms 後に  $G_{CV}$  を放電して AC 電圧源電圧  $V_{CV}$  を印加した例で、 $t_1\sim t_{CV}$  間の電流電圧責務はワイル試験と全く同じであるが、 $t_{CV}$  以後の遮断器極間電圧  $V_{TB}$  はワイル電圧源と AC 電圧源の両電圧が重畳されている。
- (b) は  $I_v 
  ildes 0$  で  $V_{cv}$  を印加した例で,AC 電圧源電流  $I_{cv}$  の突入電流の影響を受けて零近傍の電流責務が過酷となり,供試遮断器のみ遮断できず  $t_{cv}$  近傍で再点弧した。この実験例から, $I_v = 0$  で  $V_{cv}$  を印加する方法は実用できないといえる。
- (c) は  $I_{V=0}$  の 0.2 ms 前に  $V_{CV}$  を印加した例である。 $I_{CV}$  は  $I_{V}$  と逆極性のため  $t_{CV}$  以後の遮断電流は  $I_{TB} = I_{V} I_{CV}$  となり,ワイル試験時より遮断電流零点  $t_{3}$  が時間的に早くなっている。このものでは電流零近傍の電流電圧責務はAC 電圧源の影響を受けるため,零近傍現象をよく解析する必要がある。
- (d)はAC電圧源のない通常のワイル合成試験の例である。AC電圧源を重畳した前述(a)(c)では,回復電圧がかなり改善されているが,等価性,実用性については今後の研究結果に待たねばならない。

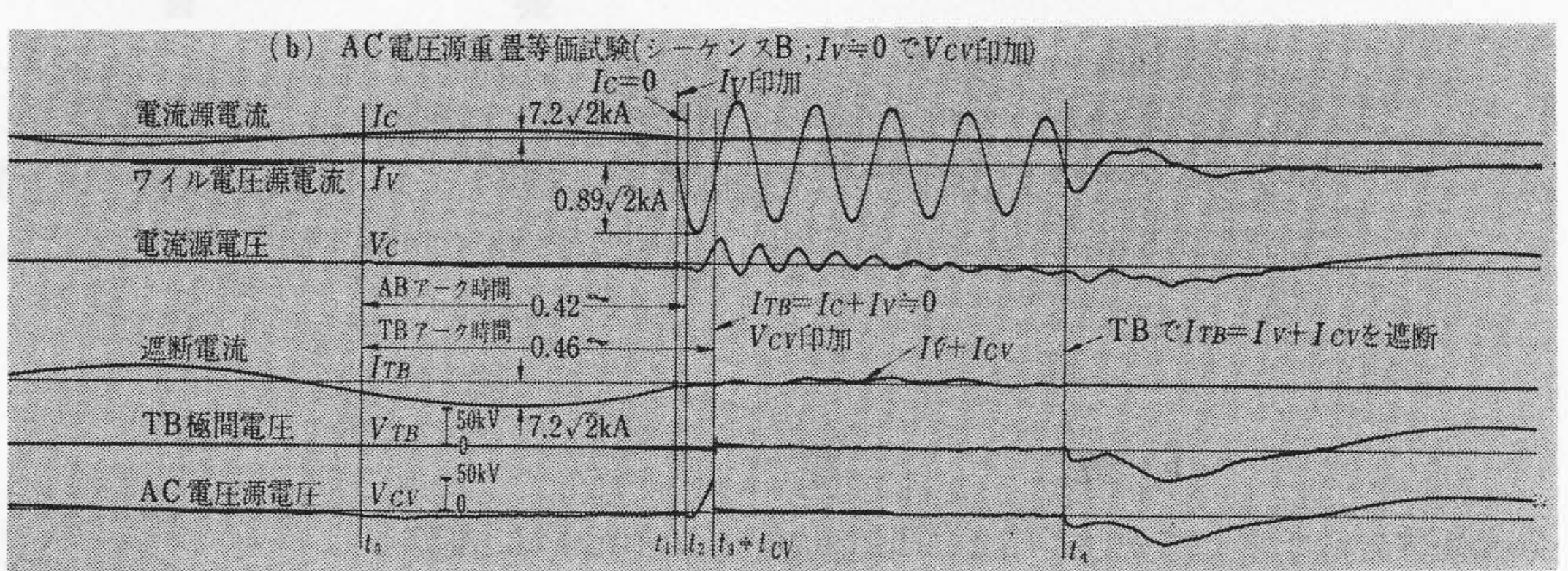
### 6. 結 言

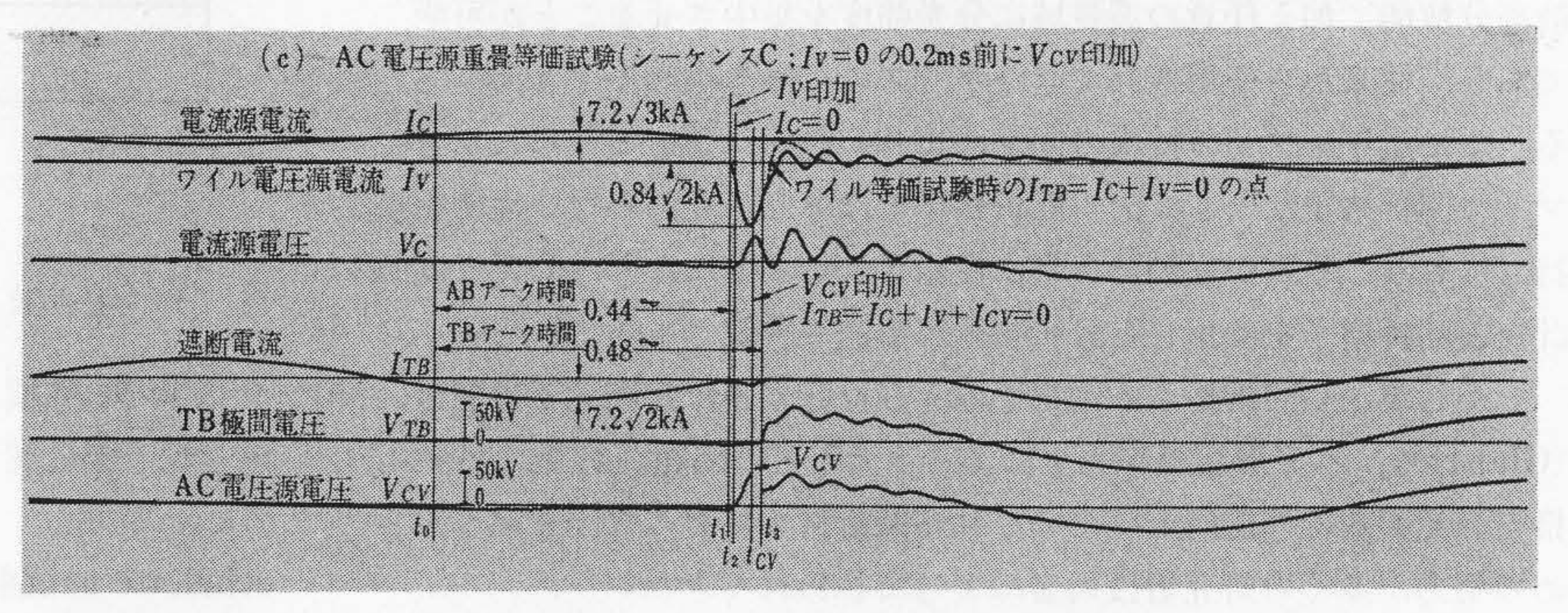
遮断器の合成試験に関して日立製作所日立研究所の現有設備と ABB を用いた試験結果について述べたが、要約すると次のとおりである。

- (1) 設備規模のめやすとなる電圧源コンデンサは400kJで、部分試験を採用すれば300kV 25 GVA~550kV 45 GVAはもとより、これ以上の遮断容量に対してもじゅうぶん検証できる。
- (2) 合成試験の遮断判定に及ぼす効果は、 アークエネルギーを供給する電流源よ り電流零近傍の電流電圧責務を与える電圧源のほうが大き い。
- (3) 遮断の成否に及ぼす再起電圧の効果は、全体波形より初期 上昇部が大きく、振幅率を低下させるための抵抗を周波数 調整用コンデンサに直列にそう入すると初期上昇率が大き く遮断過酷度が大となる。
- (4) 直列そう入抵抗の効果を電流零近傍現象から解析し、抵抗 値の増大とともにアーク電流零から再起電圧印加までの期 間が短くなることが、実測および Mayr のアーク動特性式 を用いた計算から明らかとなった。
- (5) 並列抵抗付遮断器に対する AC 電圧源重畳合成試験回路を 考察し,実用上から最適なワイル電圧源と AC 電圧源を供 試遮断器に並列接続する回路で遮断試験を実施した。

終わりに,並列抵抗付遮断器の合成試験に関し有益なご討議を賜 わった超高圧電力研究所武山研究所富山所長,東京工業大学中野教 授,名古屋大学宮地教授,横浜国立大学中西教授をはじめ遮断器等 価試験研究委員会の委員各位,終始ご指導いただいた日立製作所日







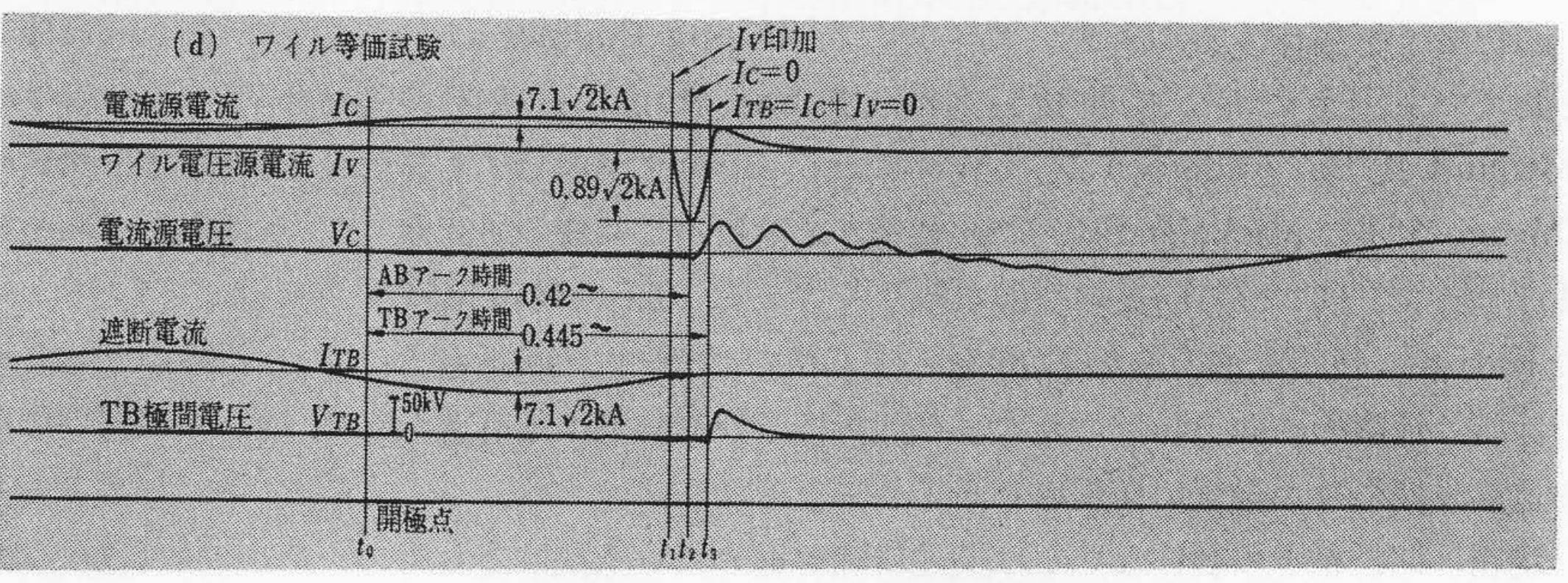


図 19 AC 電圧源重畳合成試験のオシログラム

立研究所山崎部長,実験および計算にご協力いただいた平沢,樫村, 倉沢,後藤,大石の諸君に謝意を表する次第である。

### 参 考 文 献

- (1) 仲野ほか: 日立評論 48,1164 (昭 41-10)
- (2) J.G.P. Anderson ほか: CIGRE No. 115 (1966)
- (3) P. Heroin ほか: CIGRE No. 144 (1966)
- (4) E. Slamecka: Siemens Rev. 34, 167 (1967-5)
- (5) P. Heroin ほか: CIGRE No. 13-11 (1968)
   (6) 等々力ほか: 電学誌 84, 151 (昭 39-11)
- 7) 山崎ほか: 日立評論 日研創立 30 周年記念論文集 64 (昭 39-11)
- (8) 細川ほか: 昭 42 電四学会連大 No. 610
- (9) E. Slamecka ほか: CIGRE No. 150 (1966)
- (10) I. E. C. 17A(S): Recommendation for Synthetic Testing (1966)
- (11) I. E. C. 17A(S)75: Proposals for T. R. V. (1967-6)
- (12) A. British Collaborative Study: Electronic & Power 10 (1964–11)
- (13) 遮断器等価試験研究委員会: 資料番号 80 (昭 43-7)
- (14) 等々力ほか: 電学誌 83,21 (昭 38-6)
- (15) 井手: 東芝レビュー 21,120 (昭 41-2)
- (16) G. Casagrande ( P. I. E. E. 115, 136 (1968-1)
- (17) K. Barta ほか: CIGRE No. 13-02 (1968)